



UNIVERSIDADE FEDERAL DO RIO GRANDE DO NORTE
CENTRO DE CIÊNCIAS EXATAS E DA TERRA
DEPARTAMENTO DE INFORMÁTICA E MATEMÁTICA APLICADA
BACHARELADO EM CIÊNCIA DA COMPUTAÇÃO



Processamento de dados com Apache Spark e Storm: Uma visão sobre e-Participação nas capitais dos estados brasileiros

Felipe Cordeiro Alves Dias

Natal-RN
Junho, 2016

Felipe Cordeiro Alves Dias

**Processamento de dados com Apache Spark e Storm:
Uma visão sobre e-Participação nas capitais dos
estados brasileiros**

Monografia de Graduação apresentada ao
Departamento de Informática e Matemática
Aplicada do Centro de Ciências Exatas e da
Terra da Universidade Federal do Rio Grande
do Norte como requisito parcial para a ob-
tenção do grau de bacharel em Engenharia
de Software.

Orientador

Nélio Alessandro Azevedo Cacho, doutor

UNIVERSIDADE FEDERAL DO RIO GRANDE DO NORTE – UFRN
DEPARTAMENTO DE INFORMÁTICA E MATEMÁTICA APLICADA – DIMAP

Natal-RN

Junho, 2016

Monografia de Graduação sob o título *Processamento de dados com Apache Spark e Storm: Uma visão sobre e-Participação nas capitais dos estados brasileiros* apresentada por Felipe Cordeiro Alves Dias e aceita pelo Departamento de Informática e Matemática Aplicada do Centro de Ciências Exatas e da Terra da Universidade Federal do Rio Grande do Norte, sendo aprovada por todos os membros da banca examinadora abaixo especificada:

Professor Doutor Nélio Alessandro Azevedo Cacho
Orientador
Departamento de Informática e Matemática Aplicada
Universidade Federal do Rio Grande do Norte

Professor Doutor Frederico Araújo da Silva Lopes
Departamento de Informática e Matemática Aplicada
Universidade Federal do Rio Grande do Norte

Professor Doutor Eduardo Henrique da Silva Aranha
Departamento de Informática e Matemática Aplicada
Universidade Federal do Rio Grande do Norte

Natal-RN, data de aprovação (por extenso).

Agradeço a Deus por todas as oportunidades, pelo apoio da minha amada esposa, Laísa
Dias Brito Alves; família e amigos. Todos especialmente importantes para mim.

Agradecimentos

Agradeço a toda a minha família pelo incentivo e apoio recebidos; aos professores do curso de Engenharia de Software com os quais tive aprendizados importantes para a minha vida acadêmica, profissional e pessoal. Também, ao professor Nélcio Alessandro Azevedo Cacho, pela orientação, apoio e confiança. No demais, a todos que direta ou indiretamente fizeram parte da minha formação.

Queremos ter certezas e não dúvidas, resultados e não experiências, mas nem mesmo percebemos que as certezas só podem surgir através das dúvidas e os resultados somente através das experiências.

Carl Gustav Jung

Processamento de dados com Apache Spark e Storm: Uma visão sobre e-Participação nas capitais dos estados brasileiros

Autor: Felipe Cordeiro Alves Dias

Orientador: Doutor Nélio Alessandro Azevedo Cacho

RESUMO

No contexto de Cidades Inteligentes, um dos desafios é o processamento de grande volumes de dados, em contínua expansão dado o aumento constante de pessoas e objetos conectados à Internet. Nesse cenário, é possível que os cidadãos participem, virtualmente, das questões abordadas por seu respectivo governo local, algo essencial para o desenvolvimento das Cidades Inteligentes e conhecido como e-Participação. Devido a isso, essa monografia analisa o nível de e-Participação existente nas capitais dos estados brasileiros, questionando as já ranqueadas como Inteligentes, utilizando para isso duas das principais ferramentas para processamento de dados: Apache Spark e Apache Storm.

Palavras-chave: Cidades Inteligentes, e-Participação, Processamento de dados.

Data Processing with Apache Spark and Storm: A vision on e-participation in Brazilian State Capitals

Author: Felipe Cordeiro Alves Dias

Advisor: Nélío Alessandro Azevedo Cacho, Doctor

ABSTRACT

In the context of Smart Cities, one of the challenges is the processing of large volumes of data in continuous expansion given the steady increase of people and objects connected to the Internet. In this scenario, it is possible for citizens to participate virtually of issues addressed by its respective local government, which is essential for the development of Smart Cities and known as e-Participation. Because of this, this monograph analyzes the existing level of e-Participation in Brazilian state capitals, questioning already ranked as Smart, using for that two of the main tools for data processing: Spark Apache and Apache Storm.

Keywords: e-Participation, Data Processing, Smart Cities, .

Lista de figuras

1	Cidade num invólucro digital	p. 21
2	Principais propriedades de Confiança	p. 25
3	Ilustração da arquitetura em pilha do Apache Spark	p. 26
4	Componentes do Spark para execução distribuída	p. 28
5	Ilustração da arquitetura do Apache Storm	p. 31
6	Ilustração de uma topologia do Storm	p. 33
7	Ilustração de um DStream	p. 37
8	Ilustração de um fluxo de processamento no Flink	p. 37
9	Ilustração de um stream particionado no Samza	p. 38
10	Diagrama de classes da aplicação desenvolvida para processamento e coleta de métricas relacionadas a e-Participação	p. 41
11	Diagrama do mapeamento entre um Resilient Distributed Dataset de Long para Double	p. 42
12	Diagrama do mapeamento entre um Resilient Distributed Dataset de Datas para suas respectivas frequências em Double	p. 43
13	Fluxo do processamento de dados da aplicação utilizando o Spark Streaming	p. 45
14	Diagrama de classes da aplicação utilizando o Spark Streaming	p. 47
15	Topologia da aplicação utilizando Storm	p. 47
16	Diagrama de classes da aplicação utilizando o Storm	p. 49
17	Ilustração da aplicação web desenvolvida	p. 57
18	Ilustração do painel informativo da aplicação web	p. 57
19	Ilustração das polaridades de sentimentos processadas pelo Spark	p. 58

20	Ilustração das polaridades de sentimentos processadas pelo Storm . . .	p. 58
----	--	-------

Lista de tabelas

1	Quantidade de citações a plataformas ESPs por referência	p. 39
2	Contas do Twitter relacionadas as prefeituras municipais das capitais dos vinte e sete estados brasileiros	p. 44
3	Classificação das cidades brasileiras como Cidades Inteligentes	p. 55
4	Colocação dos perfis das prefeituras das capitais, de acordo com suas respectivas métricas	p. 56
5	Polaridade dos sentimentos processados pelo Spark, referente ao dia 22/05/2016	p. 59
6	Polaridade dos sentimentos processados pelo Storm, referente ao dia 22/05/2016	p. 60
7	Métricas relacionadas ao número de tweets por dia dos perfis das prefeituras das capitais, referentes aos 3.200 tweets anteriores a 18/05/2016 .	p. 67
8	Métricas relacionadas ao número de retweets dos perfis das prefeituras das capitais, referentes aos 3.200 tweets anteriores a 18/05/2016	p. 68
9	Métricas relacionadas ao número de favoritos dos perfis das prefeituras das capitais, referentes aos 3.200 tweets anteriores a 18/05/2016	p. 69
10	Métricas relacionadas ao número de réplicas dos perfis das prefeituras das capitais, referentes aos 3.200 tweets anteriores a 18/05/2016	p. 70
11	Métricas relacionadas ao tempo de resposta (em minutos) dos perfis das prefeituras das capitais, referentes aos 3.200 tweets anteriores a 18/05/2016	p. 71
12	Métricas relacionadas ao número de menções por dia dos perfis das prefeituras das capitais, referentes aos 3.200 tweets anteriores a 18/05/2016	p. 72

Lista de abreviaturas e siglas

UFRN – Universidade Federal do Rio Grande do Norte

DIMAp – Departamento de Informática e Matemática Aplicada

IoT – Internet of Things

NLP – Natural Language Processing

ONU – Organização das Nações Unidas

TICs – Tecnologias da Informação e Comunicação

RTC – Real Time Computing

NRT – Near Real Time

ESP – Event Stream Processing

CEP – Complex Event Processing

POSET – Partially ordered set of events

FIFO – First In, First Out

DStream – Discretized Stream

RDD – Resilient Distributed Dataset

DAG – Directed Acyclic Graph

SNR – Social Network Ratio

YARN – Yet Another Resource Negotiator

UF – Unidade Federativa

Sumário

1	Introdução	p. 15
1.1	Objetivo	p. 16
1.2	Organização do trabalho	p. 17
2	Fundamentação Teórica	p. 19
2.1	Cidades Inteligentes	p. 19
2.1.1	Internet das Coisas	p. 20
2.1.2	Requisitos de uma aplicação de Cidade Inteligente	p. 21
2.1.3	e-Participação	p. 22
	Níveis de e-Participação.	p. 23
2.2	Plataformas de processamento em tempo real	p. 24
2.2.1	Processamento de fluxo de eventos em tempo real	p. 25
2.3	Apache Spark	p. 26
2.3.1	Módulos do Apache Spark	p. 27
2.3.2	Composição Interna do Apache Spark	p. 27
2.3.2.1	Modelo de execução das aplicações Spark	p. 28
2.3.2.2	Job	p. 29
2.3.2.3	Stage	p. 29
2.3.2.4	Task	p. 30
2.4	Apache Storm	p. 31
2.4.1	Composição interna do Apache Storm	p. 31
2.4.1.1	Nimbus	p. 32

2.4.1.2	Supervisor Node	p. 32
2.4.1.3	ZooKeeper	p. 32
2.4.1.4	Topologia	p. 33
	Bolt.	p. 33
	Spout.	p. 34
3	Aplicações desenvolvidas e estudo comparativo	p. 36
3.1	Metodologia de escolha das plataformas para processamento de fluxo de eventos em tempo real	p. 36
	Apache Spark Streaming.	p. 36
	Apache Flink.	p. 37
	Apache Storm.	p. 37
	Apache Samza.	p. 37
3.2	Aplicações desenvolvidas	p. 38
3.2.1	Aplicação web para visualização das métricas relacionadas a e-Participação	p. 39
3.2.2	Aplicação para processamento de tweets e coleta de métricas relacionadas a e-Participação	p. 40
3.2.3	Aplicação para processamento de stream de tweets, utilizando Spark Streaming	p. 43
3.2.4	Aplicação para processamento de stream de tweets, utilizando Storm	p. 46
3.3	Estudo comparativo	p. 48
3.3.1	Processamento de grande volume de dados em tempo real . . .	p. 48
3.3.2	Tolerância a Falhas	p. 50
3.3.2.1	Garantia de processamento	p. 51
3.3.3	Escalabilidade	p. 52
3.3.4	Modelo de programação	p. 52

4	Resultados	p. 53
4.0.1	Trabalhos relacionados	p. 53
4.0.2	Resultados	p. 54
5	Conclusões	p. 61
5.1	Limitações	p. 61
5.2	Trabalhos Futuros	p. 62
	Referências	p. 63
	Apêndice A – Primeiro apêndice	p. 67

1 Introdução

Atualmente, o crescimento populacional tem sido uma das fontes de estresse no que se refere à infra-estrutura e recursos de uma cidade (CLARKE, 2013), fenômeno conhecido também como Tragédia dos Comuns (HARDIN, 1968), no qual há um cenário de alta demanda por determinados recursos finitos que quando explorados em larga escala, se tornam escassos. De acordo com o autor desse conceito, não existe solução técnica para esse problema.

No entanto, é possível utilizar Tecnologias de Informação e Comunicação (TICs), objetivando transformar os sistemas de uma cidade e otimizar o uso de seus recursos finitos, melhorando a eficiência da economia, possibilitando desenvolvimento político, social, cultural e urbano, tornando-a uma Cidade Inteligente (SAÉZ-MARTÍN; ROSSARIO; CABA-PEREZ, 2014).

No contexto de Cidades Inteligentes, alguns objetos do nosso cotidiano têm a capacidade de serem conectados à Internet através de eletrônicos embarcados, sensores e *software*, formando a Internet das Coisas (IoT - Internet of Things) . Em 2013, menos de 1% desses dispositivos estavam conectados, sendo a previsão para 2020 de 212 bilhões. Quanto a pessoas conectadas à Internet, prevê-se 3.5 bilhões em 2017, sendo 64% via dispositivos móveis (CLARKE, 2013).

Tal volume de dados, dobrará a cada dois anos até 2020 (EMC, 2014), principalmente devido ao crescimento do uso da Internet, *smartphones* e Redes Sociais; a queda do custo de equipamento para criar, capturar, administrar, proteger e armazenar informação; migração da TV analógica para a digital; crescimento dos dados gerados por máquinas, incluindo imagens de câmeras de segurança e meta-informação (CLARKE, 2013).

Sendo assim, de acordo com essa expansão, haverá um patamar em que tudo o que é possível estar, estará conectado, ampliando o conceito de Internet das Coisas para o de Internet de Todas as Coisas, segundo a Cisco (CISCO, 2016). Com essa quantidade de pessoas e dispositivos conectados, cerca de 44 trilhões de gigabytes serão gerados (EMC,

2014), os quais quando processados por sistemas inteligentes, ajudarão no surgimento de serviços de grande impacto no cotidiano de uma cidade (CLARKE, 2013).

Portanto, umas das principais problemáticas abordadas por Cidades Inteligentes é a de processamento de grande volume de dados, provenientes dos sensores instalados em tubulações de água, avenidas (para controle de congestionamentos), iluminações públicas; de câmeras de segurança; da análise de Redes Sociais, como o processamento de *tweets* (mensagem publicada ou trocada pelos utilizadores da rede social Twitter), etc.

Analisando o conteúdo das Redes Sociais, por exemplo, é possível explorar o nível de interação entre cidadãos e governos locais no âmbito digital (e-Participação). Sendo essa exploração algo importante devido ao fato de a população ser um componente fundamental das Cidades Inteligentes, que têm como função principal servi-la. Assim, é necessária uma comunicação ativa entre as partes (SAÉZ-MARTÍN; ROSSARIO; CABA-PEREZ, 2014).

Apesar dessa importância, poucos trabalhos tem sido direcionados à exploração do potencial das Redes Sociais para as Cidades Inteligentes (SAÉZ-MARTÍN; ROSSARIO; CABA-PEREZ, 2014), principalmente no que diz respeito a e-Participação (MACIEL; ROQUE; GARCIA, 2009). Além disso, os *rankings* de Cidades Inteligentes, normalmente, adotam critérios relacionados a transparência e existência de serviços eletrônicos, ignorando o uso de outras ferramentas para Governo Eletrônico, como as Redes Sociais (SAÉZ-MARTÍN; ROSSARIO; CABA-PEREZ, 2014).

1.1 Objetivo

Considerando o que foi exposto anteriormente, essa monografia tem como objetivo principal desenvolver uma aplicação para coletar *tweets*, processando-os posteriormente para obter métricas relacionadas a e-Participação. As métricas serão referentes as cidades brasileiras, focando as classificadas recentemente como Cidades Inteligentes (Connected Smartcities, 2015), exibindo essas informações numa aplicação *web* contendo um mapa que permitirá uma visão do nível de participação, no âmbito digital, entre o governo local e os cidadãos, para então comparar com a classificação mencionada.

Ainda como objetivo dessa monografia, pretende-se desenvolver uma aplicação para processamento de *streams* (fluxos) de *tweets*, realizando sob eles Processamento de Linguagem Natural (NLP - *Natural Processing Language*) , visando obter a polaridade do sentimento do conteúdo do *tweet*. Com isso, será possível estimar em tempo real como a população está se sentindo em relação ao seu governo local.

Portando, são duas aplicações com propostas de processamento diferentes. A primeira delas realiza processamento em lotes (*batch*), sendo o Spark uma das ferramentas mais adequadas nesse sentido. A segunda, relaciona-se ao processamento de *stream* de dados, sendo mais complexa, e devido a isso outros aspectos serão levados em consideração antes da escolha de uma plataforma para essa aplicação.

O processamento desses *tweets*, assim como de outros dados em *stream*, pode ser feito usando, por exemplo, Processamento de Fluxo de Eventos (ESP - *Event Stream Processing*), processando eventos (acontecimentos do mundo real ou digital) na ordem em que eles chegam ou via Processamento Complexo de Eventos (CEP - *Complex Event Processing*), entendendo como esses eventos se relacionam e construindo padrões para identificá-los num fluxo de eventos (LUCKHAM, 2006).

A escolha entre essas abordagens depende dos requisitos da aplicação e, para o objetivo dessa monografia, a abordagem de ESP se mostrou mais adequada, pois os *tweets* serão processados em ordem. Então, a partir disso, foi desenvolvida uma metodologia para selecionar duas plataformas para ESP, sendo o Spark Streaming e Storm escolhidas, principalmente, devido ao número de citações que ambas possuem em artigos e na comunidade de *software*.

Por fim, esse trabalho também tem como proposta realizar um estudo comparativo entre as ferramentas citadas, direcionado as aplicações desenvolvidas. Os seguintes requisitos serão analisados: Processamento de grande volume de dados em tempo real, Tolerância a Falhas, Garantia de Processamento, Escalabilidade e Modelo de Programação (abstrações que influenciam o processo de desenvolvimento).

1.2 Organização do trabalho

O restante do trabalho, está dividido em mais quatro capítulos e um apêndice. O Cap.2 se refere a Fundamentação Teórica, sendo estruturado da seguinte forma: Seção 2.1, sobre Cidades Inteligentes; seção 2.2, sobre Plataformas de processamento em tempo real; seção 2.3, sobre o Apache Spark; e seção 2.4, sobre o Apache Storm.

No Cap. 3, são abordados os aspectos relacionados ao desenvolvimento do trabalho. Sendo assim, divide-se na: Seção 3.1, sobre a Metodologia de escolha das plataformas para processamento de fluxo de eventos em tempo real; seção 3.2, sobre as aplicações desenvolvidas; e seção 3.3 sobre o estudo comparativo.

Por fim, o Cap. 4 aborda os trabalhos relacionados a essa monografia, na seção 4.0.1, e os resultados obtidos, na seção 4.0.2. O Cap. 5 contém as conclusões; as limitações do trabalho realizado, na seção 5.1; os trabalhos futuros, na seção 5.2. No final desse documento, também constam as referências utilizadas e o apêndice, com informações complementares.

2 Fundamentação Teórica

Nesse capítulo, são apresentados os conceitos relacionados a essa monografia, os quais estão divididos nas seguintes seções: 2.1, sobre a temática de Cidades Inteligentes; 2.2, a respeito de Plataformas de processamento em tempo real; 2.3 e 2.4, sobre o Apache Spark e Storm, respectivamente.

2.1 Cidades Inteligentes

Projeções da Organização das Nações Unidas (ONU) , indicam que a população mundial urbana atual passará de 3.9 bilhões de pessoas para 6.3 bilhões em 2050, representando 66% do total de habitantes, 9.54 bilhões (ONU, 2014). Tal crescimento populacional, pertencente a classe de problemas de solução não técnica, de acordo com o fenômeno conhecido por Tragédia dos Comuns, no qual uma alta demanda de recursos finitos (água, energia, alimentos, estradas, etc.) os tornam escassos (HARDIN, 1968), podendo resultar em consequências graves como a miséria.

A ONU, por sua vez, indicam algumas estratégias políticas para lidar com esse problema, tais como: incentivo a migração interna; redistribuição espacial da população; expansão da infra-estrutura; garantia de acesso a serviços e oportunidades de trabalho; uso de Tecnologias da Informação e Comunicação (TICs) , para melhoraria na entrega de serviços (ONU, 2014), etc. Podendo nesse último ponto, por exemplo, haver exploração das TICs visando a implantação de iniciativas relacionadas a Cidades Inteligentes.

As Cidades Inteligentes, são locais nos quais, principalmente, busca-se transformar os sistemas da cidade e otimizar o uso de seus recursos finitos, melhorando assim a eficiência da economia, possibilitando desenvolvimento político, social, cultural e urbano (SAÉZ-MARTÍN; ROSSARIO; CABA-PEREZ, 2014). Apesar dessas possíveis transformações e otimizações, é importante salientar, novamente, que nenhuma abordagem técnica resolve por si só as problemáticas decorrentes do crescimento populacional (HARDIN, 1968).

Uma das problemáticas amenizadas pelas Cidades Inteligentes, é a da demanda por eficiência energética (decorrente das mudanças climáticas), a qual requer das cidades menos emissão de gás carbono, o que pode ser obtido, por exemplo, utilizando iluminações públicas mais eficientes, com investimentos em prédios sustentáveis (energeticamente sustentável e com uso de áreas verdes), transportes públicos e ciclovias. Outra possibilidade, é a de desenvolvimento de serviços digitais capazes de ajudar os cidadãos com questões cotidianas, como a chamar um táxi, saber a localização de um ônibus, encontrar a rota com menos congestionamento de carros, reportar crimes, comunicar-se com o governo, etc (CLARKE, 2013).

O problema relacionado a Cidades Inteligentes tratado por essa monografia, como já mencionado, insere-se no contexto de processamento de grande volume de dados, decorrente, principalmente, ao aumento de objetos conectados à Internet (relacionados ao conceito de IoT - *Internet of Things*, explicado em 2.1.1), com previsão de existirem 212 bilhões até 2020. E, também, ao crescimento do número de pessoas conectas (o que com o crescimento populacional tende a aumentar), prevendo-se 3.5 bilhões em 2017, sendo 64% via dispositivos móveis (CLARKE, 2013).

Ainda, mais especificamente, espera-se que a quantidade de dados existentes dobre a cada dois anos até 2020 (EMC, 2014). Além desses fatores, outros têm contribuído para essa expansão, tais como: o crescimento do uso da Internet, *smartphones* e Redes Sociais; a queda do custo de equipamento para criar, capturar, administrar, proteger e armazenar informação; migração da TV analógica para a digital; crescimento dos dados gerados por máquinas, incluindo imagens de câmeras de segurança e da informação sobre informação (CLARKE, 2013).

2.1.1 Internet das Coisas

Considerando o exposto pela seção 2.1, a expansão do número de pessoas e coisas conectadas à Internet, chegar-se-á um patamar em que tudo o que é possível estar, estará conectado, ampliando o conceito de Internet das Coisas para o de Internet de Todas as Coisas, segundo a Cisco (CISCO, 2016). Em tal cenário, cerca de 44 trilhões de *gigabytes* serão gerados (EMC, 2014), os quais processados por sistemas inteligentes, ajudarão no surgimento de serviços de grande impacto no cotidiano de uma cidade (CLARKE, 2013).

Principalmente, aqueles que monitoram e reportam continuamente qualquer modificação que ocorra em um determinado cenário. Por exemplo, no contexto de saúde pública, é possível monitorar as condições do organismo de um paciente, notificando os médicos

responsáveis caso a pessoa esteja em risco, através de uma rápida comunicação e resposta a tal acontecimento. Alguns dos sistemas semelhantes a esse são exemplificados na Fig. 1.

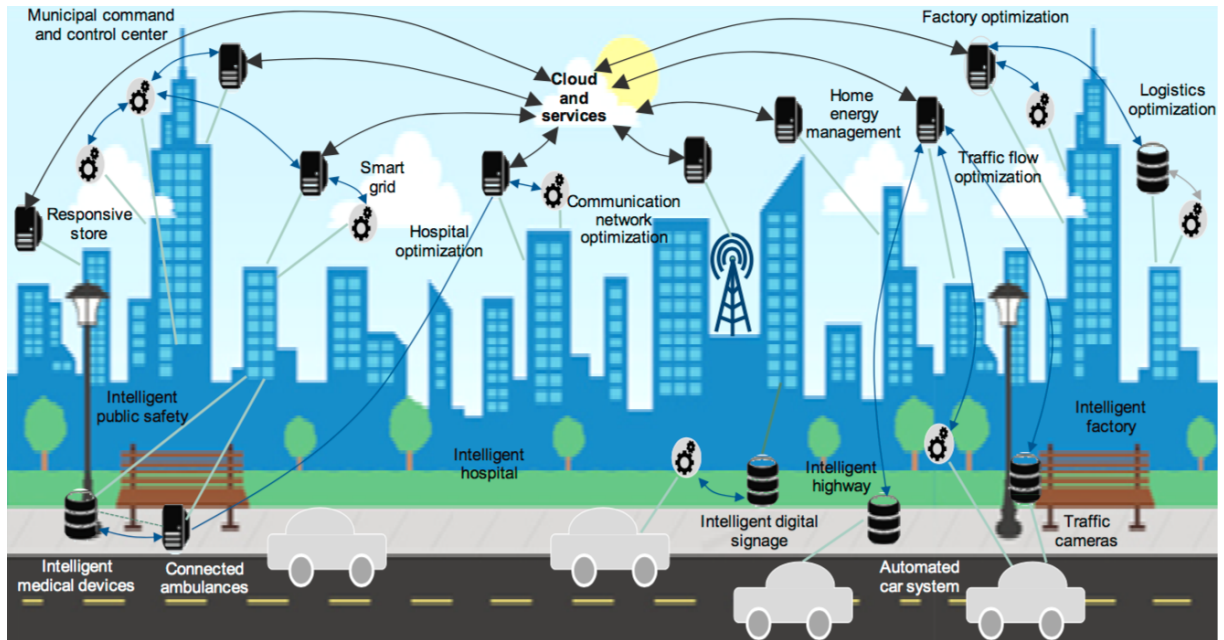


Figura 1: Cidade num invólucro digital

Fonte: (CLARKE, 2013)

Na Fig. 1, organizações, pessoas e objetos estão conectados, criando um invólucro digital, composto por representações de serviços conectados a nuvem, tais como: o de um (i) Hospital Inteligente, conectado a dispositivos médicos inteligentes e a ambulâncias; (ii) Centro Digital de Controle e Comando Municipal, integrado a um sistema inteligente de segurança pública e armazenamento de dados; (iii) Sistema de Otimização de Fluxo de Tráfego, conectado a um sistema de estradas inteligentes agregadas a câmeras de controle de tráfego; (iv) Fábrica Inteligente, integrada a um sistema de otimização de logística e fábrica; (v) Administração de Energia Doméstica e (vi) *Smart Grid* (um novo modelo de Redes Elétricas (H. et al., 2016)) e (vii) Otimização de Rede de Comunicação.

Tais serviços não serão estudados nesse trabalho, foram apenas referenciados visando demonstrar uma pequena parte da gama de possibilidades existentes em Cidades Inteligentes, Internet das Coisas, e a problemática relacionada ao processamento de dados.

2.1.2 Requisitos de uma aplicação de Cidade Inteligente

Devido a grande quantidade de dados existentes, conforme mencionado na seção 2.1.1, a capacidade de processar grandes volumes de dados pode ser um dos requisitos necessários a uma aplicação de Cidade Inteligente. Nesse contexto, por exemplo, pode ser importante

observar duas métricas: o valor de (i) throughput e o de (ii) latência, sendo o primeiro termo referente a taxa de processamento e, o segundo, a variação do tempo entre um estímulo e resposta (KILLELEA, 2002).

Dependendo dos requisitos da aplicação, a latência talvez seja mais interessante de ser priorizada quando respostas a determinados eventos precisam ser no menor intervalo de tempo possível (menos de um segundo). Por outro lado, o valor de throughput, pode ser mais adequado se a aplicação necessitar processar grandes volumes de dados dentro de um valor de latência aceitável (no máximo alguns segundos) (MORAIS, 2015).

Outro requisito importante de ser analisado, é o de tolerância a falhas (necessário quando a aplicação está inserida em ambientes distribuídos, ou, de incertezas), o qual permite o funcionamento do sistema mesmo que uma falha (conceito explicado na seção 2.2) ocorra, o que pode ser obtido, por exemplo, por meio de replicação (COULOURIS et al., 2013). Além disso, pode existir a necessidade de atender o requisito de escalabilidade, através do qual é possível oferecer um serviço de alta qualidade conforme o aumento da demanda, adicionando novos recursos (escalabilidade horizontal), ou, melhorando os existentes (escalabilidade vertical) (SOMMERVILLE, 2011).

Por fim, algumas aplicações precisam do requisito de Processamento em Tempo Real, quem tem como uma de suas principais características um limite de tempo pré-determinado para as respostas aos eventos do sistema (SOMMERVILLE, 2011). Após mencionar esses requisitos, é importante observar o Modelo de Programação (ou, as abstrações) da plataforma que será utilizada no processo de desenvolvimento de uma aplicação, pois, ele (elas) pode impactá-los.

2.1.3 e-Participação

Uma das temáticas abordadas em Cidades Inteligentes, é a de promover novos meios para a participação do cidadão nas questões relacionadas a gestão da cidade (SAÉZ-MARTÍN; ROSSARIO; CABA-PEREZ, 2014). As Redes Sociais são um dos principais meios onde essa interação pode ocorrer, posto que elas compostas por um conjunto de pessoas (ou, organizações), representando nós de uma rede, conectadas através de um conceito abstrato de relacionamento (MACIEL; ROQUE; GARCIA, 2009).

Sendo assim, tal ambiente virtual, tem proporcionado um novo espaço para que os cidadãos possam participar de processos de consulta e deliberação (exame e discussão de um assunto (PRIBERAM, 2016)), atuando com os governos como atores de processos de

tomadas de decisão (MACIEL; ROQUE; GARCIA, 2009). Essa participação quando ocorre em ambientes virtuais, como Redes Sociais, aplicativos, wiki, fórum, blogs, dentre outros (MAGALHÃES, 2015), defini-se pelo conceito de e-Participação, dentro de outro mais abrangente que é o de Governo Eletrônico.

O Governo Eletrônico é caracterizado pelo uso de TICs pelo governo público, buscando prover melhores serviços, informações e conhecimento ao cidadão; facilitando o acesso ao processo político e incentivando a participação (MAGALHÃES, 2015). Ele pode ser dividido, principalmente, nos três campos seguintes: e-Administração, a respeito do funcionamento interno do poder público; e-Governo, no tocante a entrega e fornecimento de serviços e informações qualificadas aos cidadãos; e-Democracia, relacionada a ampliação da participação da sociedade na tomada de decisão, sendo a e-Participação uma sub-área desse último (MAGALHÃES, 2015).

A intenção da e-Participação é reforçar e renovar as interações entre o setor público, os políticos e cidadãos; tanto quanto possível no processo democrático (MAGALHÃES, 2015). Além disso, a e-Participação não pode ser avaliada somente por seus aspectos técnicos, mas também quanto a capacidade de incrementar a democracia (MAGALHÃES, 2015).

Um dos desafios nessa área é avaliar as ferramentas apoiadas pelas TICs, quanto as formas de engajamento existentes, como informação, consulta, ou, participação ativa (MAGALHÃES, 2015). Ainda, segundo citação contida em (MAGALHÃES, 2015), a e-Participação é um conjunto de várias tecnologias, medidas sociais e políticas, havendo a necessidade de melhorar a compreensão das relações entre esses componentes e como suas respectivas práticas de avaliação podem ser aplicadas a e-Participação como um todo.

Com isso, para que os processos que a envolvem sejam eficazes é importante considerar os ambientes online e off-line, ou seja, incrementando os métodos tradicionais (conferências, fóruns, conselhos, ouvidorias, audiências, consultas, reuniões, comitês, grupos de trabalho e mesas de negociação) com as possibilidades da e-Participação, estendendo-a ainda aos grupos desfavorecidos e desconectados (MAGALHÃES, 2015). Dito isso, no parágrafo seguinte, são referenciados alguns dos diferentes níveis de e-Participação.

Níveis de e-Participação. No nível e-Informação, há um canal unidirecional, visando apenas fornecer informações de interesse cívico; no de e-Consulta, a comunicação é bidirecional, via coleta de opiniões e alternativas; no de e-Envolvimento busca-se garantir a compreensão e levar em consideração os anseios do cidadão; em e-Colaboração, a comunicação é bidirecional, e o cidadão participa ativamente no desenvolvimento de alternativas

e identificação de melhores soluções; por fim, no de e-Empoderamento, a influência, controle e elaboração de políticas pelo e para o público é viabilizada (MAGALHÃES, 2015).

2.2 Plataformas de processamento em tempo real

As plataformas de processamento em tempo real (RTC, *Real Time Computing*) , compostas por hardware ou software, são sistemas que tem como um dos principais requisitos emitir respostas a eventos de acordo com um determinado *deadline* (limite de tempo). Sendo assim, a correteza da computação não depende apenas da correteza lógica, mas também dos resultados serem produzidos de acordo com o *deadline* especificado (SHIN; RAMANATHAN, 1994), (SOMMERVILLE, 2011).

Normalmente, os resultados são obtidos através de processamentos realizados por um conjunto de *tasks* (tarefas) cooperativas, iniciadas por eventos do sistema. Os eventos são dependentes do ambiente no qual estão inseridos, podendo ocorrer periodicamente (de forma regular e previsível), ou, aperiodicamente (irregulares e imprevisíveis) (SHIN; RAMANATHAN, 1994), (SOMMERVILLE, 2011).

As *tasks* podem ter uma relação de interdependência e ao mesmo tempo nem todos os eventos que as originaram necessitam de ser processados dentro de um *deadline*. Apesar disso, nenhuma *task* pode vir a comprometer o processamento de outra (SHIN; RAMANATHAN, 1994).

Com isso, os *deadlines* podem ser classificados em *hard*, *firm*, ou, *soft*. No primeiro caso, respectivamente, as respostas a todos os eventos devem necessariamente ocorrer dentro do *deadline* definido; no segundo, *deadlines* esporadicamente não atendidos são aceitos; no terceiro, *deadlines* não alcançados são permitidos frequentemente (SHIN; RAMANATHAN, 1994). Além dessas categorias, há os sistemas com *delay* (atraso) introduzido entre o intervalo de tempo de estímulo e resposta, os quais são classificados como *Near Real Time* (NRT) , ou seja, são sistemas de processamento em "quase tempo real".

Sendo assim, na categoria *hard*, é considerado como falha se o tempo estimado para um processamento não for atendido, e nas demais, a ocorrência disso resulta numa degradação (contínua de acordo com a quantidade de *deadlines* não atendidos) (SHIN; RAMANATHAN, 1994), (SOMMERVILLE, 2011). Entende-se por falha quando o usuário não recebe algo esperado (por exemplo, *deadline* não atendido) devido a um erro de sistema. Sendo esse erro um estado errôneo resultante de um defeito (característica do sistema que pode resultar em erro). E, degradação, como decréscimo da qualidade (conceito subjetivo, de

acordo com os requisitos da aplicação) do sistema (SOMMERVILLE, 2011).

Por fim, é importante mencionar também que uma falha de sistema pode comprometer o requisito de Confiança e prejudicar um grande número de pessoas (SHIN; RAMANATHAN, 1994), (SOMMERVILLE, 2011). Na Fig. 2 a seguir, são ilustradas as principais propriedades desse requisito:

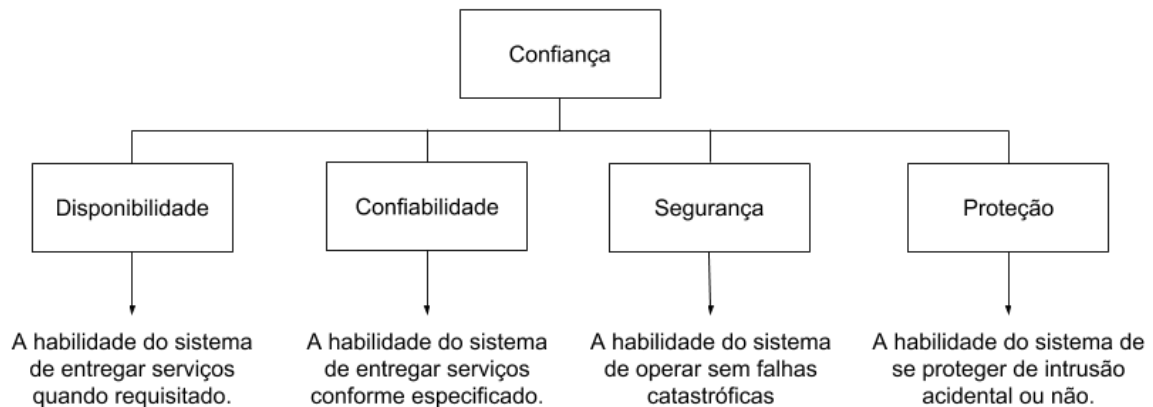


Figura 2: Principais propriedades de Confiança
Fonte: (SOMMERVILLE, 2011)

2.2.1 Processamento de fluxo de eventos em tempo real

Fluxo (ou *stream*) de eventos, basicamente, pode ser entendido como uma série de eventos em função do tempo (NARSUDE, 2015), (LUCKHAM, 2006). Dentro desse escopo, duas abordagens de processamento são importantes diferenciar: (i) ESP (*Event Stream Processing*, ou, Processamento de Fluxo de Eventos) e (ii) CEP (*Complex Event Processing*, ou, Processamento Complexo de Eventos). A primeira, costuma-se focar principalmente com questões de baixo nível, relacionadas a como processar eventos em tempo real atendendo requisitos de escalabilidade, tolerância a falha, confiabilidade, etc (KLEPPMANN, 2015).

Na segunda abordagem, os *streams* são utilizados para criar uma nuvem de eventos, parcialmente ordenados por tempo e causalidade, conceito conhecido como POSET (*Partially Ordered Set of Events*) (LUCKHAM, 2006). Sendo assim, normalmente, visa-se trabalhar questões de alto nível, utilizando *posets* para a criação de padrões de eventos, envolvendo seus relacionamentos, estrutura interna, etc. Com esse conjunto de informações é possível compor eventos complexos, os quais podem ser consultados continuamente (KLEPPMANN, 2015).

Portanto, nessa monografia, será utilizada a primeira abordagem (ESP) para processamento de eventos, por ser mais adequada ao objetivo proposto no Cap. 1.1. Em ESPs, algumas plataformas processam os *streams* continuamente conforme são recebidos pelo sistema; paradigma conhecido como *One at Time*. Quando um evento é processado com sucesso, há a possibilidade de emitir uma notificação sobre isso, a qual é custosa devido ao fato de ser necessário rastreá-lo até o término de seu processamento (NARSUDE, 2015).

Outra alternativa, é a de realizar o processamento em *micro-batches* (pequenos lotes) de eventos, tendo com uma das vantagens poder realizar operações em pequenos blocos de dados, em vez de individualmente, ao custo de introduzir um pequeno atraso no processo (NARSUDE, 2015).

2.3 Apache Spark

Apache Spark é uma plataforma de computação em *cluster* (unidade lógica composta por um conjunto de computadores conectados entre si através da Rede, permitindo compartilhamento de recursos), com suporte a consultas a banco de dados, processamento de streaming (em *Near Real Time*), grafos, e aprendizado de máquina. Tendo Java, Python e Scala como linguagens de programação suportadas (Apache Software Foundation, 2016g).

A arquitetura do Spark, conforme a Fig. 3, é composta por uma pilha integrando os seguintes componentes, a serem explicados posteriormente: Spark SQL, Spark Streaming, MLib, GraphX, Spark Core e Administradores de Cluster (Yarn (Apache Software Foundation, 2016c) e Apache Mesos (Apache Software Foundation, 2016d)). Tal estrutura, visa ser de fácil manutenção, teste, *deploy*, e permitir aumento de performance do núcleo impactando seus demais componentes.

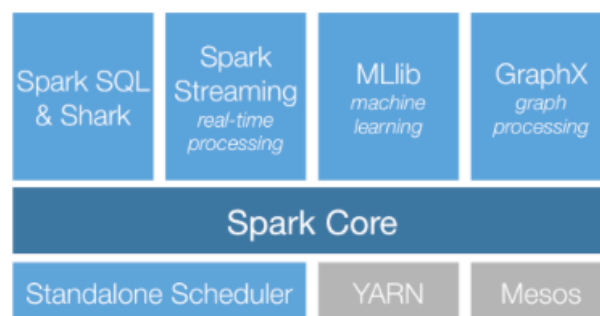


Figura 3: Ilustração da arquitetura em pilha do Apache Spark

Fonte: (KARAU et al., 2015)

2.3.1 Módulos do Apache Spark

O Spark Core é o principal módulo do Apache Spark, responsável principalmente pelo gerenciamento de memória, *tasks* (conceito explicado em 2.3.2.4) e tolerância a falha. Ainda nele, a abstração conhecida como RDD (*Resilient Distributed Datasets*) é definida, cujo papel é o de representar uma coleção de dados distribuídos e manipulados em paralelo. Os RDDs em Java são representados pela classe `JavaRDD`, criados através da classe `JavaSparkContext` (contexto da aplicação), que é instanciada recebendo como parâmetro um objeto `SparkConf`, contendo informações relacionadas ao nome da aplicação e o endereço em que ela será executada, podendo ser local, ou, em cluster.

Outro módulo é o Spark Streaming, o qual realiza o processamento de dados em *stream*. Os *streams* são representados por uma sequência de RDDs, conhecida como DStream. O contexto de um *streaming* (`JavaStreamingContext`) é criado usando as configurações da aplicação e o intervalo no qual cada DStream será definido. Após isso, tais *streams* são atribuídos a um objeto da classe `JavaReceiverInputDStream`.

Além dos módulos detalhados nos parágrafos anteriores, é relevante mencionar o (i) Spark SQL, responsável por trabalhar com dados estruturados E consultas SQL; o (ii) MLlib, relacionado ao aprendizado de máquina, contendo algoritmos tais como o de classificação, regressão, "clusterização", filtragem colaborativa, avaliação de modelo e importação de dados; e o (iii) GraphX, que é composto por uma biblioteca para manipulação de grafos e computações paralelas. Por fim, o Spark também possui um administrador de *cluster* padrão, conhecido como *Standalone Scheduler* (Apache Software Foundation, 2016g), tendo também suporte ao YARN e Apache Mesos.

2.3.2 Composição Interna do Apache Spark

Nesta seção é explicada a composição interna do Apache Spark, expondo os componentes que permitem a execução distribuída de uma aplicação spark, tais como o Driver Program, Spark Context, Worker Node e Executor. Também, são explicados os conceitos sobre as operações de Transformação e Ação, e os relativos a *Job*, *Stage*, *Task* e Partição RDD.

2.3.2.1 Modelo de execução das aplicações Spark

O modelo de execução das aplicações Spark é definido pela relação composta por um *driver*, SparkContext, executors e *tasks*, conforme ilustrado na Fig. 4. Nessa interação, as aplicações Spark funcionam num *Worker Node* (qualquer nó capaz de de executar código de aplicação localmente ou num *cluster*) como uma espécie de *Driver*, o qual executa operações paralelas e define dados distribuídos sobre um *cluster*. Além disso, o *driver* é responsável por encapsular a função principal da aplicação e prover acesso ao Spark, utilizando o objeto da classe SparkContext. Tal objeto, é usado também para representar uma conexão com um *cluster* e construir RDDs (KARAU et al., 2015).

Após a construção de um RDD, é possível executar operações sobre ele. Essas operações são realizadas por *executors*, processos administrados por uma aplicação Spark (cada aplicação tem os seus próprios *executors*); nos quais há espaços reservados para execução de *tasks* (conceito explicado na seção 2.3.2.4). Há dois tipos de operações: (i) Ações (*actions*) e (ii) Transformações (*transformations*) (Apache Software Foundation, 2016g). O primeiro tipo retorna um resultado ao *driver* após computações sob um conjunto de dados, de acordo com uma função. Sendo o segundo, responsável por gerar novos conjuntos de dados (RDDs) através, também, de funções especificadas (KARAU et al., 2015).

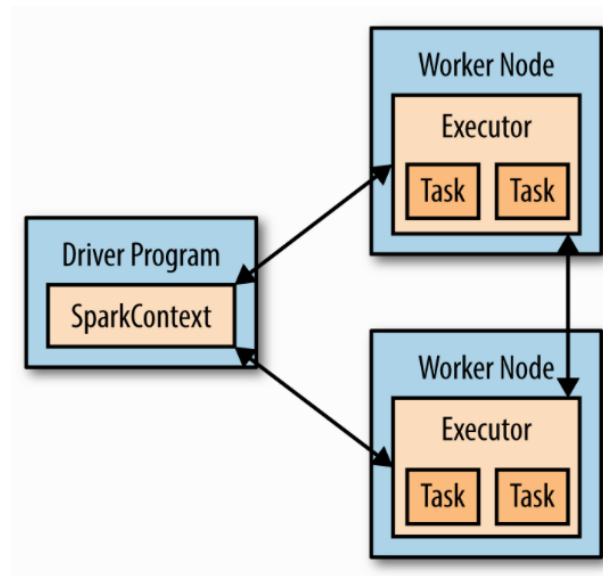


Figura 4: Componentes do Spark para execução distribuída

Fonte: (KARAU et al., 2015)

2.3.2.2 Job

A abstração do conceito de *job* está relacionada com o de *action*. Mais especificamente, um *job* é o conjunto de estágios (*stages*) resultantes de uma determinada *action*. Por exemplo, quando o método `count()` é invocado (para realizar a contagem de elementos dentro de um RDD), cria-se um *job* composto por um ou mais *stages*. Os *jobs*, por padrão, são escalonados para serem executados em ordem FIFO (*First In, First Out*). Além disso, o *scheduler* do Spark é responsável por criar um plano de execução física, o qual é utilizado para calcular as RDDs necessárias para executar a ação invocada (KARAU et al., 2015), (XU; JU; REN, 2015).

Em tal plano de execução física, defini-se basicamente um grafo acíclico dirigido (DAG), relacionando as dependências existentes entre os RDDs, numa espécie de linhagem de execução (*lineage*). Após isso, a partir da última RDD do último estágio, cada dependência é calculada, de trás para frente, para que posteriormente os RDDs dependentes possam ser calculados, até que todas as *actions* necessárias tenham terminado (KARAU et al., 2015), (XU; JU; REN, 2015).

2.3.2.3 Stage

A divisão de um *job* resulta no conceito de *stage*, ou seja, *jobs* são compostos por um ou mais *stages*, os quais têm *tasks* a serem executadas. Nem sempre a relação entre *stages* e RDDs será de 1:1. No mais simples dos casos, para cada RDD há um *stage*, sendo possível nos mais complexos haver mais de um *stage* gerado por um único RDD (KARAU et al., 2015), (XU; JU; REN, 2015).

Por exemplo, havendo três RDDs no grafo RDD, não necessariamente haverá três *stages*. Um dos motivos para isso acontecer é quando ocorre *pipelining*, situação na qual é possível reduzir o número de *stages*, calculando os valores de alguns RDDs utilizando unicamente informações de seus antecessores, sem movimentação de dados de outros RDDs (KARAU et al., 2015), (XU; JU; REN, 2015).

Além da possibilidade do número de *stages* ser reduzido, o contrário acontece quando fronteiras entre *stages* são definidas. Tal situação, ocorre porque algumas transformações, como a `reduceByKey` (função de agregação por chaves), podem resultar em reparticionamento do conjunto de dados para a computação de alguma saída, exigindo dados de outros RDDs para a formação de um único RDD. Assim, em cada fronteira entre os *stages*, *tasks* do estágio antecessor são responsáveis por escrever dados para o disco e buscar *tasks*

no estágio sucessor, através da rede, resultando em um processo custoso, conhecido como *shuffling* (KARAU et al., 2015), (XU; JU; REN, 2015).

O número de partições entre o estágio predecessor e sucessor pode ser diferente, sendo possível customizá-lo, embora isso não seja recomendável. Tal aconselhamento é devido ao fato de que se o número for modificado para uma pequena quantidade de partições, tais podem sofrer com *overloaded tasks* (sobrecarregadas), do contrário, havendo partições em excesso, resultará em um alto número de *shuffling* entre elas (KARAU et al., 2015), (XU; JU; REN, 2015).

Em resumo, *shuffling* sempre acontecerá quando for necessário obter dados de outras partições para computar um resultado, sendo esse um procedimento custoso devido ao número de operações de entrada e saída envolvendo: leitura/escrita em disco e transferência de dados através da rede. No entanto, se necessário, o Spark provê uma forma eficiente para reparticionamento, conhecida como *coalesce()*, a qual reduz o número de partições sem causar movimentação de dados (KARAU et al., 2015).

2.3.2.4 Task

A abstração do conceito *task* está relacionada principalmente com *stage*, pois, uma vez que os estágios são definidos, *tasks* são criadas e enviadas para um *scheduler* interno. Além disso, *tasks* estão muito próximas da definição de *partition*, pelo fato de ser necessária a existência de uma *task* para cada *partition*, para executar as computações necessárias sobre ela (KARAU et al., 2015).

Portanto, o número de *tasks* em um *stage* é definido pelo número de partições existentes no RDD antecessor. E, por outro lado, o número de partições em um determinado RDD é igual ao número de partições existentes no RDD do qual ele depende. No entanto, há exceções em caso de (i) *coalescing*, processo o qual permite criar um RDD com menos partições que seu antecessor; (ii) união, sendo o número de partições resultado da soma do número de partições predecessoras; (iii) produto cartesiano, produto dos predecessores (KARAU et al., 2015).

Cada *task* internamente é dividida em algumas etapas, sendo elas: (i) carregamento dos dados de entrada, sejam eles provenientes de unidades de armazenamento (caso o RDD seja um RDD de entrada de dados), de um RDD existente (armazenado em memória cache), ou, de saídas de outro RDD (processo de *shuffling*), (ii) processamento da operação necessária para computação do RDD representado por ela, (iii) escrever a saída para o

processo de *shuffling*, para um armazenamento externo ou para o *driver* (caso seja o RDD final de uma ação). Em resumo, uma *textitask* é responsável por coletar os dados de entrada, processá-los e, por fim, gerar uma saída (KARAU et al., 2015).

2.4 Apache Storm

Apache Storm (Apache Software Foundation, 2016h) é uma plataforma de computação em *cluster*, com suporte a processamento de *stream* de dados em tempo real. O Storm requer pouca manutenção, é de fácil de administração e tem suporte a qualquer linguagem de programação (que leia e escreva fluxos de dados padronizados), posto que em seu núcleo é utilizado o Apache Thrift (Apache Software Foundation, 2016i) (framework que permite o desenvolvimento de serviços multilinguagem) para definir e submeter topologias (conceito definido em 2.4.1.4) (Apache Software Foundation, 2016h).

A arquitetura do Storm, conforme a Fig. 5, é composta pelos seguintes componentes, a serem explicados posteriormente: Nimbus, ZooKeeper e Supervisor Node.

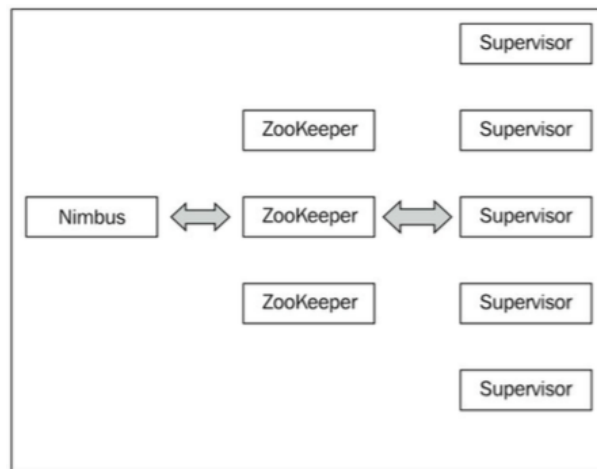


Figura 5: Ilustração da arquitetura do Apache Storm

Fonte: (JAIN; NALYA, 2014)

2.4.1 Composição interna do Apache Storm

Nesta seção é explicada a composição interna do Apache Storm, expondo os principais componentes que permitem a execução distribuída de uma topologia Storm, tais como o Nimbus, ZooKeeper e *Supervisor Nodes*.

2.4.1.1 Nimbus

Nimbus é o processo *master* executado num *cluster* Storm, tendo ele uma única instância e sendo responsável por distribuir o código da aplicação (*job*) para os nós *workers* (computadores que compõem o *cluster*), aos quais são atribuídas *tasks* (parte de um *job*). As *tasks* são monitoradas pelo *Supervisor Node*, sendo reiniciadas em caso de falha e quando requisitado. Ainda, caso um *Supervisor Node* falhe continuamente, o *job* é atribuído para outro nó *worker* (JAIN; NALYA, 2014), (HART; BHATNAGAR, 2015).

O Nimbus utiliza um protocolo de comunicação sem estado (*Stateless Protocol*), ou seja, cada requisição é tratada individualmente, sem relação com a anterior, não armazenando dados ou estado (Techopedia, 2016), sendo assim todos os seus dados são armazenados no ZooKeeper (definido em 2.4.1.3). Além disso, ele é projetado para ser *fail-fast*, ou seja, em caso de falha é rapidamente reiniciado, sem afetar as *tasks* em execução nos nós *workers* (JAIN; NALYA, 2014), (HART; BHATNAGAR, 2015).

2.4.1.2 Supervisor Node

Cada *Supervisor Node* é responsável pela administração de um determinado nó do *cluster* Storm; gerenciando o ciclo de vida de processos *workers* relacionados a execução das *tasks* (partes de uma topologia) atribuídas a ele próprio. Os *workers* quando em execução emitem "sinais de vida" (*heartbeats*), possibilitando o *supervisor* detectar e reiniciar caso não estejam respondendo. E, assim como o Nimbus, um *Supervisor Node* é projetado para ser *fail-fast* (JAIN; NALYA, 2014), (HART; BHATNAGAR, 2015).

2.4.1.3 ZooKeeper

O ZooKeeper Cluster (Apache Software Foundation, 2016j) é responsável por coordenar processos, informações compartilhadas, *tasks* submetidas ao Storm e estados associados ao *cluster*, num contexto distribuído e de forma confiável, sendo possível aumentar o nível de confiabilidade tendo mais de um servidor ZooKeeper. O ZooKeeper atua também como o intermediário da comunicação entre Nimbus e os *Supervisor Nodes*, pois eles não se comunicam diretamente entre si, ambos também podem ser finalizados sem afetar o *cluster*, visto que todos os seus dados, são armazenados no ZooKeeper, como já mencionado anteriormente (JAIN; NALYA, 2014), (HART; BHATNAGAR, 2015).

2.4.1.4 Topologia

A topologia Storm, ilustrada na Fig. 6, é uma abstração que define um grafo acíclico dirigido (DAG), utilizado para computações de *streams*. Cada nó desse grafo é responsável por executar algum processamento, enviando seu resultado para o próximo nó do fluxo. Após definida a topologia, ela pode ser executada localmente ou submetida a um *cluster* (JAIN; NALYA, 2014), (HART; BHATNAGAR, 2015).

Stream é um dos componentes da topologia Storm, definido como uma sequência de tuplas independentes e imutáveis, fornecidas por um ou mais *spout* e processadas por um ou mais *bolt*. Cada *stream* tem o seu respectivo ID, que é utilizado pelos *bolts* para consumirem e produzirem as tuplas. As tuplas compõem uma unidade básica de dados, suportando os tipos de dados (serializáveis) no qual a topologia está sendo desenvolvida.

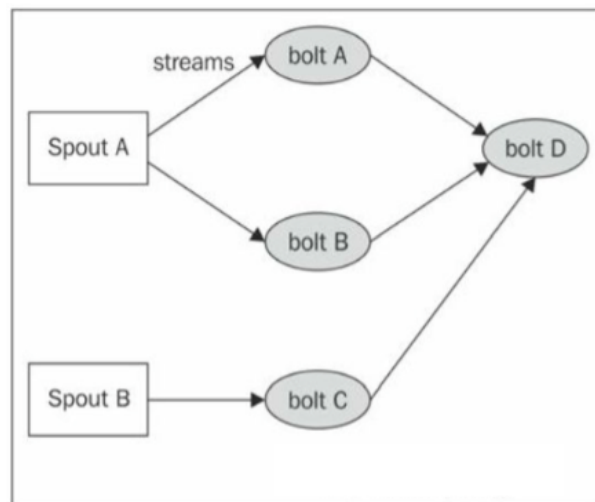


Figura 6: Ilustração de uma topologia do Storm

Fonte: (JAIN; NALYA, 2014)

Bolt. Os *bolts* são unidades de processamento de dados (*streams*), sendo eles responsáveis por executar transformações simples sobre as tuplas, as quais são combinadas com outras formando complexas transformações. Também, eles podem ser inscritos para receberem informações tanto de outros *bolts*, quanto dos *spouts*, além de produzirem *streams* como saída (JAIN; NALYA, 2014).

Tais *streams* são declarados, emitidos para outro *bolt* e processados, respectivamente, pelos métodos `declareStream`, `emit` e `execute`. As tuplas não precisam ser processadas imediatamente quando chegam a um *bolt*, pois, talvez haja a necessidade de aguardar para executar alguma operação de junção (*join*) com outra tupla, por exemplo. Também,

inúmeros métodos definidos pela interface *Tuple* podem recuperar metadados associados com a tupla recebida via *execute* (JAIN; NALYA, 2014).

Por exemplo, se um ID de mensagem está associado com uma tupla, o método *execute* deverá publicar um evento *ack*, ou, *fail*, para o *bolt*, caso contrário o Storm não tem como saber se uma tupla foi processada. Sendo assim, o *bolt* envia automaticamente uma mensagem de confirmação após o término da execução do método *execute* e, em caso de um evento de falha, é lançada uma exceção (JAIN; NALYA, 2014).

Além disso, num contexto distribuído, a topologia pode ser serializada e submetida, via Nimbus, para um *cluster*. No qual, será processada por *worker nodes*. Nesse contexto, o método *prepare* pode ser utilizado para assegurar que o *bolt* está, após a desserialização, configurado corretamente para executar as tuplas (JAIN; NALYA, 2014), (HART; BHATNAGAR, 2015).

Spout. Na topologia Storm um *Spout* é o responsável pelo fornecimento de tuplas, as quais são lidas e escritas por ele utilizando uma fonte externa de dados (JAIN; NALYA, 2014).

As tuplas emitidas por um *spout* são rastreadas pelo Storm até terminarem o processamento, sendo emitida uma confirmação ao término dele. Tal procedimento somente ocorre se um ID de mensagem foi gerado na emissão da tupla e, caso esse ID tenha sido definido como nulo, o rastreamento não irá acontecer (JAIN; NALYA, 2014).

Outra opção é definir um *timeout* a topologia, sendo dessa forma enviada uma mensagem de falha para o *spout*, caso a tupla não seja processada dentro do tempo estipulado. Sendo necessário, novamente, definir um ID de mensagem. O custo dessa confirmação do processamento ter sido executado com sucesso é a pequena perda de *performance*, que pode ser relevante em determinados contextos; devido a isso é possível ignorar a emissão de IDs de mensagens (JAIN; NALYA, 2014).

Os principais métodos de um *spout* são: o *open()*, executado quando o *spout* é inicializado, sendo nele definida a lógica para acesso a dados de fontes externas; o de declaração de *stream* (*declareStream*) e o de processamento de próxima tupla (*nextTuple*), que ocorre se houver confirmação de sucesso da tupla anterior (*ack*), sendo o método *fail* chamado pelo Storm caso isso não ocorra (JAIN; NALYA, 2014).

Por fim, nenhum dos métodos utilizados para a construção de um *spout* devem ser bloqueantes, pois o Storm executa todos os métodos numa mesma *thread*. Além disso,

todo *spout* tem um *buffer* interno para o rastreamento dos status das tuplas emitidas, as quais são mantidas nele até uma confirmação de processamento concluído com sucesso (ack) ou falha (fail); não sendo inseridas novas tuplas (via `nextTuple`) no *buffer* quando ele está cheio (JAIN; NALYA, 2014).

3 Aplicações desenvolvidas e estudo comparativo

Nesse capítulo, a seção 3.1 se refere a metodologia de escolha das plataformas para processamento de fluxo de eventos em tempo real, utilizadas pelas aplicações desenvolvidas, explicadas na seção 3.2. Por último, na seção 3.3, é realizado um estudo comparativo das ferramentas ESPs escolhidas anteriormente.

3.1 Metodologia de escolha das plataformas para processamento de fluxo de eventos em tempo real

Inicialmente, foi realizada uma pesquisa com a palavra chave "*stream processing*" e analisados os primeiros artigos (na ordem do resultado e que citavam mais de uma ferramenta) em busca de citações a ferramentas (*Open Source*) de processamento de *streams* em tempo real. Com base nesse resultado, os nomes das plataformas encontradas foram utilizados para buscar a quantidade de referências no Google Scholar (site para publicação de artigos acadêmicos) e Stack Over Flow (site para discussão de assuntos relacionados a desenvolvimento de software). Na Tab. 1, constam os resultados desse procedimento.

A plataforma Esper mencionada em (WÄHNER, 2014) e (KLEPPMANN, 2015) foi descartada do processo de escolha por ser um componente para CEP, normalmente integrado a ferramentas ESPs, fugindo do escopo desse trabalho (ESPERTECH, 2016). Sendo assim, continuando a análise, foram também consideradas as características das opções restantes, analisadas brevemente nos parágrafos seguintes.

Apache Spark Streaming. Apache Spark Streaming é um módulo do Spark para processamento de *stream*, em Near Real Time. Além disso, o Spark possui outros módulos para consultas a banco de dados, processamento de dados estruturados, grafos, e aprendizado de máquina (Apache Software Foundation, 2016g). O processamento de *stream* é

realizado em *micro-batching* pelo Spark Streaming, utilizando uma abstração conhecida como DStream, composta por uma sequência de RDDs (*Resilient Distributed Dataset*), ilustrada na Fig. 7. RDDs abstraem uma coleção de dados distribuídos e manipulados em paralelo. No Spark, também é possível utilizar processamento em *batch*, independente do módulo que está sendo utilizado (KARAU et al., 2015).



Figura 7: Ilustração de um DStream
Fonte: (Apache Software Foundation, 2016g)

Apache Flink. Apache Flink é uma plataforma muito semelhante ao Spark. Com suporte ao processamento de *streams*, definidos por uma abstração conhecida como DataStream, ilustrada na Fig. 8. O processamento em *batch* é realizado em cima de DataSets, semelhantes às RDDs do Spark. Da mesma forma como o DStream é definido como uma série de RDDs, o DataStream é composto por uma sequência de DataSets. A abstração conhecida como Sink, é utilizada para armazenar e retornar DataSets. Há suporte também para CEP, processamento em grafos, aprendizado de máquina e consulta a banco de dados (Apache Software Foundation, 2016b).



Figura 8: Ilustração de um fluxo de processamento no Flink
Fonte: (DATAARTISANS, 2015)

Apache Storm. Apache Storm é uma plataforma para processamento de *stream* em tempo real. Ao contrário do Spark, tem "*One At Time*" como modelo de processamento de dados. As *streams* são compostas por tuplas (unidade básica de dados, processadas numa abstração conhecida como Topologia, ilustrada na Fig. 6, composta por um DAG (*Directed Acyclic Graph* (RUOHONEN, 2013)) de *spouts* e *bolts*, respectivamente, responsáveis por emitir streams de dados e processá-los (JAIN; NALYA, 2014).

Apache Samza. Apache Samza é outra plataforma para processamento de *stream* em tempo real, utilizando como abstração base o conceito de mensagem (identificadas por

offsets, ou, simplesmente *ids*), em vez de tupla, ou, DStream. Os *streams* são separados em partições contendo mensagens ordenadas (acessadas apenas no modo de leitura), sendo processados por *jobs* responsáveis por ler e emitir fluxos. Assim como o Spark, há suporte para processamento em *batch*, realizado processando sequências de *streams*.

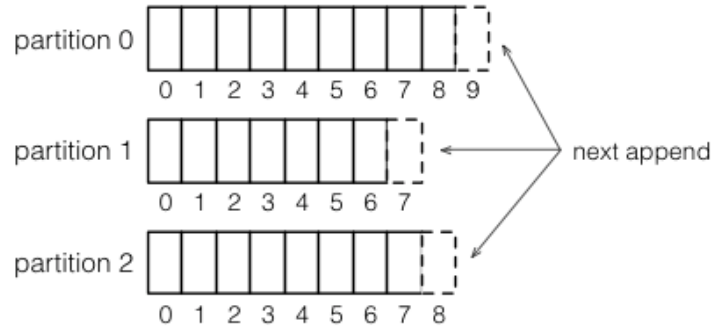


Figura 9: Ilustração de um stream particionado no Samza

Fonte: (Apache Software Foundation, 2016f)

Após essas breves descrições das plataformas para processamento de eventos em tempo real e da análise realizada do número de citações, o Spark Streaming e Storm foram escolhidas como ferramentas para o trabalho desenvolvido no Cap. 3. Isso, porque ambas possuem maior número de citações nas fontes pesquisadas, e consequentemente, comunidades maiores, o que pode favorecer melhor documentação, suporte e continuidade desses projetos.

Além disso, como Flink e Samza são semelhantes ao Spark o único critério de diferenciação, superficialmente, é o tamanho da comunidade e a popularidade que o Spark tem. No demais, o Storm se diferencia com o conceito de topologia, interessante de ser estudado. Devido a isso, o Spark e Storm foram aprofundados no Cap. 2 e utilizados no desenvolvimento das aplicações a serem apresentadas neste capítulo.

3.2 Aplicações desenvolvidas

Após a escolha das plataformas para processamento de eventos em tempo real, quatro aplicações foram desenvolvidas. A explicada na subseção 3.2.1, exibe numa aplicação web um mapa contendo informações sobre as métricas de e-Participação e uma visão da polaridade dos sentimentos contidos nos tweets processados. A subseção 3.2.2, refere-se a aplicação responsável por coletar os tweets e processar as métricas de e-Participação; a da subseção 3.2.3, por sua vez, usa o Spark Streaming para realizar análise de polaridade dos streams de tweets; e a referente a subseção 3.2.4, realiza o mesmo procedimento, mas

Tabela 1: Quantidade de citações a plataformas ESPs por referência

Referência	Spark Streaming	Storm	Flink	Samza
(WÄHNER, 2014)	1	1	1	1
(KLEPPMANN, 2015)	1	0	0	1
(Siciliane, T., 2015)	1	1	0	1
(NARSUDE, 2015)	1	1	0	0
(ZAPLETAL, 2015)	1	1	0	0
(SANDU, 2014)	1	1	0	0
(TREAT, 2015)	1	0	0	1
(Google Scholar, 2016)	806	766	171	283
(Stack Over Flow, 2016)	1541	538	567	87
Total de citações	2354	1311	739	374

Fonte: Elaboração própria

com o Storm.

3.2.1 Aplicação web para visualização das métricas relacionadas a e-Participação

A aplicação web foi desenvolvida utilizando o framework web Django (Django Software Foundation, 2016), unicamente devido a sua simplicidade. Nela, há somente uma página contruída usando HTML, JavaScript e CSS, na qual o mapa para a visualização das métricas e polaridades é exibido. O mapa, por sua vez, é obtido com o suporte da API MapsJavaScript (Google, 2016a) sendo nele sobrepostas camadas do Google Fusion Tables (aplicação web experimental para visualização de dados, coleta e compartilhamento de tabelas (Google, 2016b)).

As métricas e polaridades podem ser escolhidas através de uma caixa de seleção (ComboBox), sendo assim, para cada Estado, se sua respectiva média for maior que a nacional a região dele no mapa é sobreposta com uma camada azul, se menor, vermelha. Ainda, clicando num Estado é possível visualizar um painel informativo com os valores das médias, medianas, mínimo, máximo, variância e desvio padrão, assim como a quantidade de tweets, seguidores, e o tempo de existência da conta.

Além disso, há conexão via API com a aplicação responsável por realizar a coleta de *tweets* e processamento das métricas. O tempo necessário para o levantamento de todas essas informações é em torno de 1h30m, devido aos limites de requisições à API do Twitter, explicado na subseção 3.2.2, e do Fusion Tables, limitado em 30 chamadas por minuto (Google, 2016a). Devido a isso, essa opção somente é habilitada no código quando necessário.

O código dessa aplicação está disponível no repositório localizado em (DIAS, 2016b), sendo "brazilian_smart_cities_map" o nome do projeto.

3.2.2 Aplicação para processamento de tweets e coleta de métricas relacionadas a e-Participação

O primeiro passo no desenvolvimento dessa aplicação, foi decidir as contas (perfis) das quais os *tweets* seriam processados. Como, normalmente, as capitais dos estados tem maior concentração de pessoas, optou-se por fazer um levantamento dos perfis oficiais de suas respectivas prefeituras, para então posteriormente realizar o processamento dos *tweets*. Sendo assim, a Tab. 2 lista as contas relacionadas as prefeituras municipais das capitais dos vinte e sete estados brasileiros.

Em seguida, foram escolhidas quais métricas dessas contas seriam possíveis e importantes de coletar, tendo como referência (SAÉZ-MARTÍN; ROSSARIO; CABA-PEREZ, 2014). Sendo assim, selecionou-se os seguintes indicadores, respectivos ao Twitter: média do número de *tweets*, seguidores, *retweets* (compartilhamento de um determinado *tweet*), comentários realizados por usuários, réplicas a *tweets* e tempo de resposta. As métricas referentes ao número de usuários acompanhando as listas (junções de *timelines*) dos perfis e o total delas existentes foram desconsideradas, pois são relacionadas a contas diferentes das em questão.

De acordo com (SAÉZ-MARTÍN; ROSSARIO; CABA-PEREZ, 2014), através dessas métricas é possível obter indicadores relacionados ao nível e-Participação. Alguns dos indicadores propostos pela SNR (*Social Network Ratio*) para Redes Sociais são: Atividade, ou, audiência estimada; Tamanho, ou, esforço realizado pelo perfil para se comunicar; Visibilidade, ou, número total de menções ao perfil; Interação, ou, capacidade de impacto (viralização) da comunicação (SAÉZ-MARTÍN; ROSSARIO; CABA-PEREZ, 2014).

Portando, pode-se mapear a métrica média de seguidores ao indicador Atividade, e a de menções para o de Visibilidade; da mesma forma, as médias sobre tweets, réplicas por dia e tempo de resposta ao indicador Tamanho; por último, as médias de retweets e favoritos ao de Interação. A Fig. 10 exibe o diagrama de classes da aplicação desenvolvida para o processamento de tweets e coleta dessas métricas.

A aplicação exibida no diagrama de classes da Fig. 10 foi desenvolvida na linguagem de programação Java, devido a sua praticidade de uso, utilizando o framework para Web Services, Apache CXF (Apache Software Foundation, 2016a), para expor dois de seus serviços

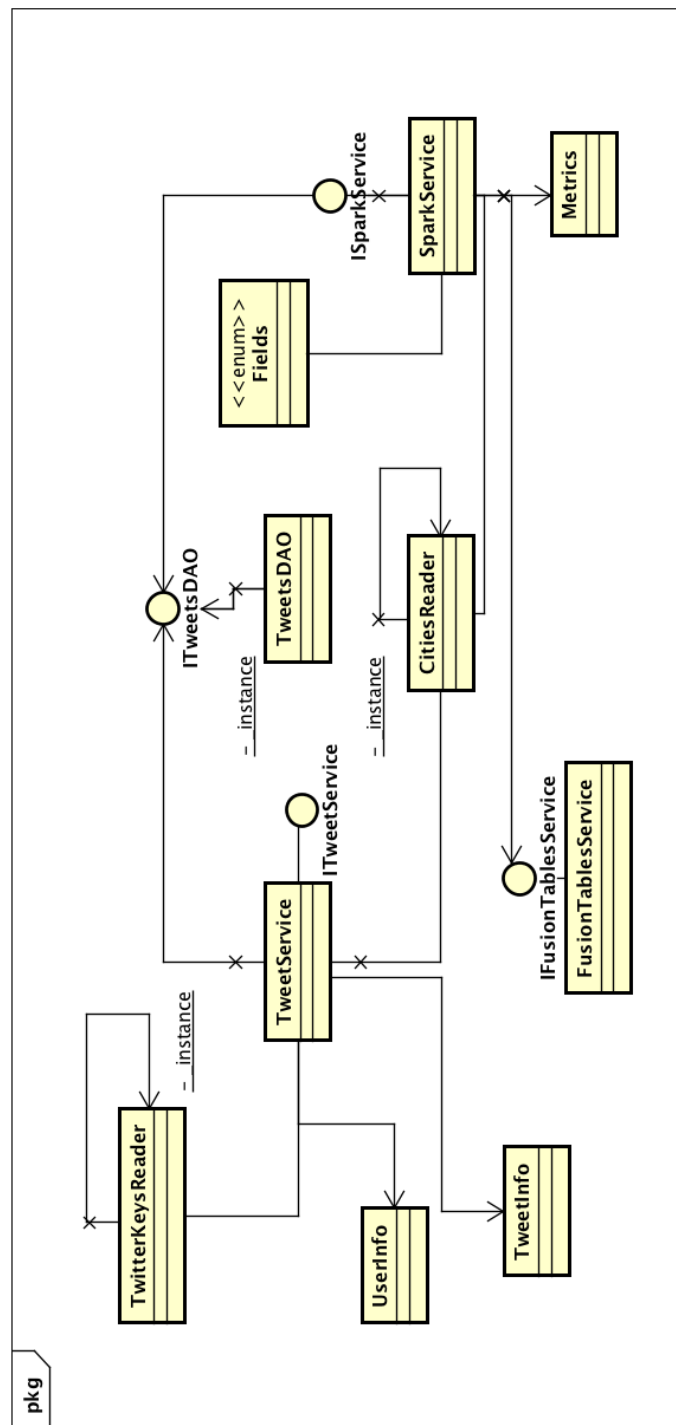


Figura 10: Diagrama de classes da aplicação desenvolvida para processamento e coleta de métricas relacionadas a e-Participação

Fonte: Elaboração própria

através de uma REST API. O primeiro deles é exposto pela interface **ITweetService**, e o segundo pela **ISparkService**, pelos seguintes *endpoints*, respectivamente: "`\tweets`" e

"\metrics", permitindo integrá-la a aplicação web descrita na subseção 3.2.1.

A classe que implementa a interface ITweetService, é responsável por realizar a coleta dos 3.200 *tweets* mais recentes (se disponíveis) de cada conta, através do *endpoint* "statuses/user_timeline". Tal quantidade é limitada pela API do Twitter, a qual pode ser alcançada por no máximo 180 requisições, num intervalo de 15 minutos, com autenticação via conta de usuário (TWITTER, 2016).

Outro endpoint utilizado foi "search/tweets", para pesquisar as menções realizadas pelos cidadãos as contas das prefeituras. O limite de coleta é de 100 tweets coletados para cada requisição, sendo possível realizar 180 a cada 15 minutos. Os endpoints da API do Twitter foram acessados com o suporte da biblioteca Twitter4J (TWITTER4J, 2016).

Durante a coleta dos *tweets*, eles são mapeados para as seguintes classes do modelo da aplicação: UserInfo, que contém as informações respectivas ao usuário da conta (número de seguidores, *tweets*, localização, *username* e data de criação da conta), e TweetInfo, contendo as relacionadas ao *tweet* (data de criação, *id* do *tweet* de réplica e a qual usuário ele se refere, quantidade de *retweets*, favoritos, se é menção ou não, e o tempo de resposta calculado). Em seguida, os modelos são persistidos via a interface ITweetsDAO, a qual se comunica com o banco de dados não relacional MongoDB (MongoDB, 2016).

Os *tweets* coletados por essa aplicação são os mais recentes e anteriores a data 18/06/2016 (incluindo-a). Como essa coleta não foi realizada sob um *stream* de *tweets*, a interface ISparkService expõe o serviço responsável por realizar o processamento em *batch* desses *tweets*, coletando as métricas relacionadas a e-Participação. Sendo assim, cada métrica é recuperada do banco de dados e mapeadas para um RDD de *doubles*, quando números, ou, de *strings*, no caso da data.

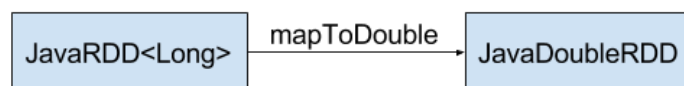


Figura 11: Diagrama do mapeamento entre um Resilient Distributed Dataset de Long para Double

Fonte: Elaboração própria

Sendo assim, após recuperar as métricas, é possível mapeá-las para um RDD de *doubles*, por meio do qual são obtidos os valores relacionados as suas respectivas médias, medianas, variâncias, máximos, mínimos e desvios padrões. As informações sobre datas,

como *strings*, são mapeadas para o valor 1, representando a ocorrência de um *tweet* nesse dia; compondo uma sequência de pares, que permite obter e mapear as quantidades de *tweets* por dia a um RDD de *doubles*. Tais processos de mapeamentos são ilustrados nas Fig. 11 e Fig. 12.

Por fim, a interface IFusionTable é utilizada para submeter os valores das métricas relacionadas e-Participação a uma Fusion Table (DIAS, 2016a), via a API do Google Fusion Tables. Os valores dessa tabela são utilizados para criar o mapa contido na aplicação web.

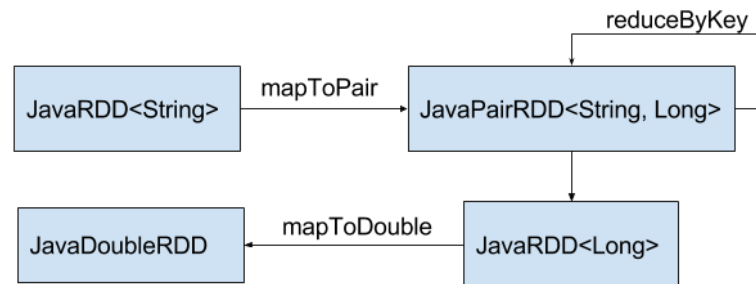


Figura 12: Diagrama do mapeamento entre um Resilient Distributed Dataset de Datas para suas respectivas frequências em Double

Fonte: Elaboração própria

O código dessa aplicação está disponível no repositório localizado em (DIAS, 2016b), sendo "twitter-data-analysis" o nome do projeto.

3.2.3 Aplicação para processamento de stream de tweets, utilizando Spark Streaming

A aplicação que utiliza o Spark Streaming, foi desenvolvida na linguagem de programação Java. No início de sua execução, é criado um contexto de *stream* no qual é definindo o *cluster* onde ela será executada e o intervalo de criação de cada RDD. Tais Resilient Distributed Datasets, são compostos ordenadamente em sequência, formando a abstração conhecida como DStream. No nosso caso, cada RDD é criado após 30000ms; sendo compostos pelos *tweets* coletados filtrando os nomes das conta das prefeituras no Twitter, enumerados na classe KeyWords, ilustrada no diagrama da Fig. 14.

Tabela 2: Contas do Twitter relacionadas as prefeituras municipais das capitais dos vinte e sete estados brasileiros

Estado	Capital	Conta no Twitter
Acre	Rio Branco	PrefRioBranco
Alagoas	Maceió	PrefMaceio
Amapá	Macapá	PMMacapa
Amazonas	Manaus	PrefManaus
Bahia	Salvador	agecomsalvador
Distrito Federal	Brasília	Gov_DF
Ceará	Fortaleza	prefeiturapmf
Espírito Santo	Vitória	VitoriaOnLine
Goiás	Goiânia	PrefeituraGy
Maranhão	São Luís	PrefeituraSL
Mato Grosso	Cuiabá	prefeitura_CBA
Mato Grosso do Sul	Campo Grande	cgnoticias
Minas Gerais	Belo Horizonte	prefeiturabh
Paraná	Curitiba	Curitiba_PMC
Paraíba	João Pessoa	pmjponline
Pará	Belém	prefeiturabelem
Pernambuco	Recife	prefrecife
Piauí	Teresina	prefeitura_the
Rio Grande do Norte	Natal	NatalPrefeitura
Rio Grande do Sul	Porto Alegre	Prefeitura_POA
Rio de Janeiro	Rio de Janeiro	Prefeitura_Rio
Rondônia	Porto Velho	prefeitura_pvh
Roraima	Boa Vista	PrefeituraBV
Santa Catarina	Florianópolis	scflorianopolis
Sergipe	Aracaju	PrefeituraAracaju
São Paulo	São Paulo	prefsp
Tocantins	Palmas	cidadepalmasy

Fonte: Elaboração própria

O processo mencionado anteriormente, executado pela classe `SparkStreaming`, começa após a inicialização do contexto de stream, sendo os *tweets* coletados pela classe `TwitterUtils` (do próprio Spark Streaming). Durante a coleta dos *streams* de *tweets* (eventos), cada RDD é mapeado para a classe `TweetInfo` (do modelo da aplicação), através de uma transformação `map`. Na sequência, as ações `foreachRDD` e `collect` são executadas para inserir os *tweets* processados no banco de dados não relacional MongoDB, conforme ilustrado na Fig. 13.

A análise das polaridades dos sentimentos do conteúdo contido nos tweets ocorre durante a última parte do mapeamento, sendo antes disso realizados alguns processamentos

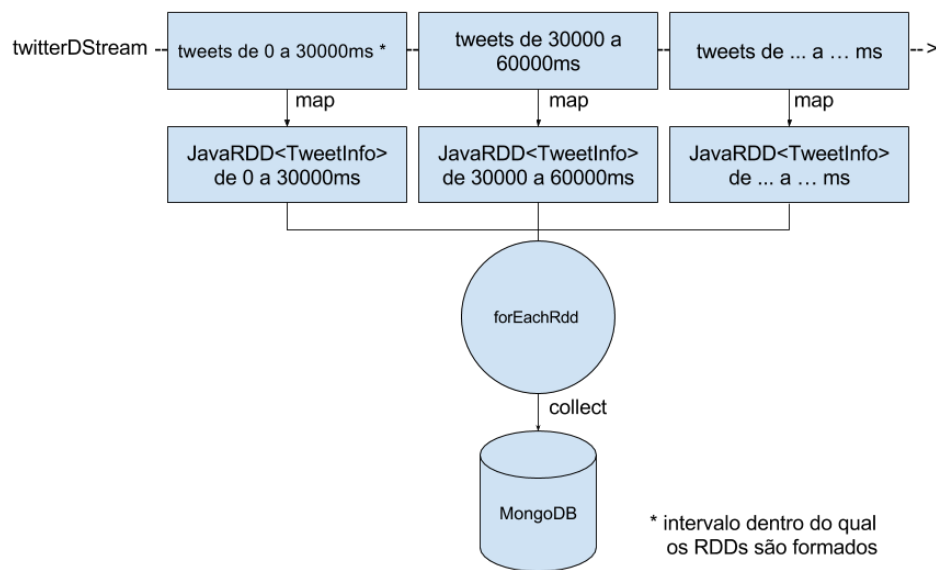


Figura 13: Fluxo do processamento de dados da aplicação utilizando o Spark Streaming

Fonte: Elaboração própria

para facilitar e viabilizar esse procedimento. Portanto, primeiramente, os textos contidos nos *tweets* são extraídos e formatados para minúsculo. Em seguida, todas as menções são identificadas pelo padrão em que ocorrem no Twitter (*@displayname*, nome exibido para os demais usuários da Rede Social) e removidas, assim como as referências a endereços de sites.

No Twitter, quando um *tweet* é compartilhado ele é marcado com a notação "RT", abreviação de *retweet*, a qual também é removida do texto em processamento. Além disso, alguns símbolos são removidos, tais como: ., ., ., %, #, etc. Sendo esse o conjunto de processamentos realizados para "limpar" inicialmente o texto, após o qual se inicia o Processamento de Linguagem Natural.

Com esse propósito, usou-se a biblioteca OpenNLP (Apache Software Foundation, 2016e) para a tokenização dos *tweets*. Após a obtenção dos *tokens*, outros processamentos foram necessários para melhorar o desempenho da fase seguinte, como a substituição das palavras normalmente abreviadas (vc - você, msm - mesmo, pq - porque, q - que, n - não, etc) e de expressões (sqn - só que não, kkk, hahaha, rrsrrs, para situações comumente engraçadas) para seus respectivos formatos formais, utilizando dicionários previamente construídos. Além disso, foram removidos os *tokens* contendo "*stopwords*" (palavras vazias), termo utilizado para as palavras comuns de um certo idioma (LESKOVEC; RAJARAMAN; ULLMAN, 2016).

Após a obtenção dos *tokens*, foram atribuídas a eles *tags* referentes as suas respectivas classes gramaticais, e, por fim, associadas a uma *part-of-speech* para cada *tweet*, usando os *tokens* e *tags* obtidas, finalizando a parte do Processamento de Linguagem Natural. Seguindo então, para a última etapa, que é a da análise de polaridade dos sentimentos, tendo como base para isso os adjetivos presentes em cada *tweet*.

A análise das polaridade dos sentimentos foi realizada com o suporte do Sentilex (versão 1), que é um léxico de sentimentos para o Português, constituído de 6.321 lemas adjetivais (por convenção, na forma masculina singular) e 25.406 formas flexionadas, contendo como um de seus atributos a polaridade do adjetivo. As polaridades são classificadas em positivo (67% de precisão), negativo (82% de precisão), ou, neutro (45% de precisão), possibilitando estimar o sentimento expresso por um determinado texto (SILVA et al., 2016).

Os sentimentos são estimados contabilizando as polaridades presentes em cada *tweet* e o sentimento expresso pelos *emotions* (se houver), assim sendo, por exemplo, o emotion "(:" incrementa 1 para a polaridade positiva, e 1 para a negativa caso seja ":(". Também, considera-se a presença de advérbios de negação, os quais modificam o significado do verbo, adjetivo e de outros advérbios (PRIBERAM, 2016), alterando consequentemente a polaridade. Por fim, é realizada uma simples normalização com os somatórios das polaridades positivas e negativas, seguindo o seguinte modelo:

$$\text{score} = (\Sigma \text{ positivo} - \Sigma \text{ negativo}) \div (\Sigma \text{ positivo} + \Sigma \text{ negativo})$$

Caso o *score* seja menor do que zero, o *tweet* é classificado com polaridade negativa, se o seu complemento for maior do que 0.5, tem-se polaridade positiva e se igual a zero, neutra. Sendo assim, as informações sobre a polaridade (sentimento) do *tweet*, seu id e suas respectivas menções (recuperadas do *tweet* original) são armazenadas no banco de dados não relacional MongoDB. As polaridades são exibidas no mapa da aplicação web.

O código dessa aplicação está disponível no repositório localizado em (DIAS, 2016b), sendo "spark-data-analysis" o nome do projeto, e seu respectivo diagrama de classe é ilustrado na Fig. 14

3.2.4 Aplicação para processamento de stream de tweets, utilizando Storm

A aplicação que utiliza o Storm para o processamento de *stream* de *tweets*, foi desenvolvida utilizando a linguagem de programação Java. Nela é construída uma topologia,

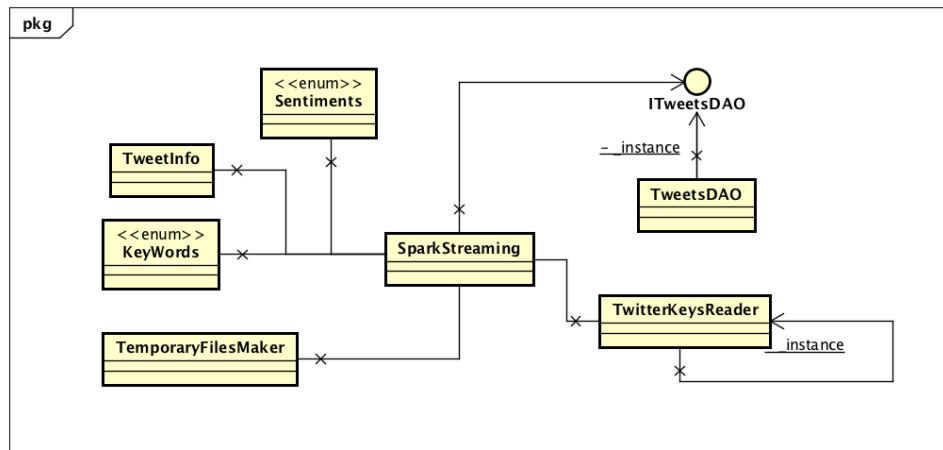


Figura 14: Diagrama de classes da aplicação utilizando o Spark Streaming

Fonte: Elaboração própria

ilustrada na Fig. 15, composta por um *Spout* (classe Twitter), responsável pela conexão ao Twitter e coleta dos *tweets*, tendo como filtro o nome das contas das prefeituras no Twitter, utilizando a biblioteca Twitter4J.

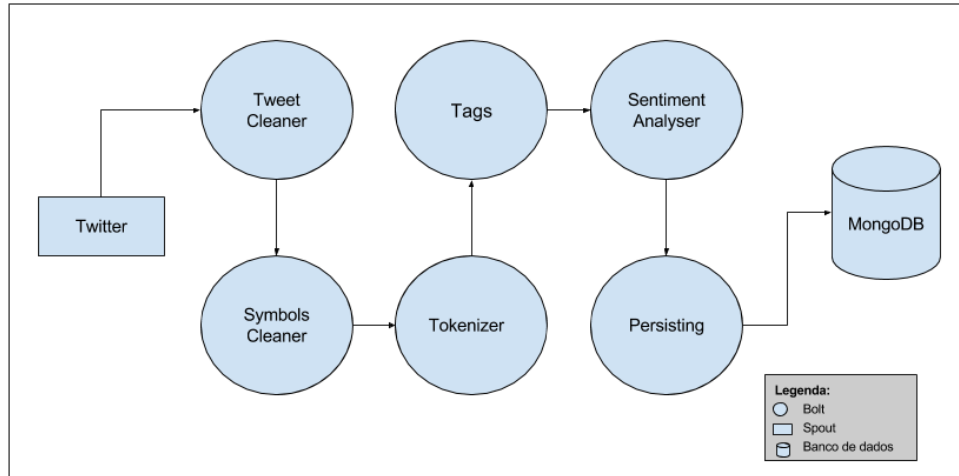


Figura 15: Topologia da aplicação utilizando Storm

Fonte: Elaboração própria

Em sequência, há seis *bolts*, responsáveis pelo processamento (o mesmo realizado pela aplicação Spark) dos *tweets* coletados. O primeiro deles, classe `TweetCleanerBolt`, ilustrada na Fig. 16, remove as menções e *urls* contidas no *tweet*, após isso os simbolos existentes são removidos pelo *bolt* `Symbols Cleaner`.

Continuando, a parte do Processamento de Linguagem Natural é realizado pelos *bolts*

Tokenizer e Tag. Na finalização do processo, o *bolt* SentimentAnalyser calcula a polarização de cada *tweet*, emitindo-os para o *bolt* Persisting, responsável pelo armazená-los no banco de dados não relacional MongoDB. Vale ainda mencionar, que os resultados de cada bolt são setados na classe TweetStream, do modelo da aplicação, o que foi necessário devido ao fato de nem todos os tipos de dados serem serializáveis, como o caso do UserMentionEntity, da biblioteca Twitter4J.

O código dessa aplicação está disponível no repositório localizado em (DIAS, 2016b), sendo "storm-data-analysis" o nome do projeto

3.3 Estudo comparativo

Nessa seção, é realizada uma análise comparativa entre o Apache Storm e Spark, sendo a subseção 3.3.1 sobre o requisito de Processamento de grande volume de dados em Tempo Real, a 3.3.2 a respeito de Tolerância a Falhas, a 3.3.2.1 sobre Garantias de processamento, a 3.3.3 em relação a Escalabilidade e, por fim, a 3.3.4 sobre o Modelo de Programação de ambas as ferramentas.

3.3.1 Processamento de grande volume de dados em tempo real

Quanto ao requisito de Processamento de grande volumes de dados em Tempo Real, de acordo com a referência (DAS, 2016), o Apache Spark pode processar até 670k de registros por segundo e por nó, enquanto que o Storm 155k. Portanto, ambas as ferramentas são capazes de processar grande fluxo de dados.

No entanto, elas se diferenciam no requisito de processamento em tempo real. O Spark tem latência de 0.52s (ZAHARIA et al., 2012b), e devido a esse delay de até alguns segundos, é considerado uma ferramenta de *Near Real Time*. O Storm, por outro lado, tem como latência de 1100ms (ZAHARIA et al., 2013), (ZAHARIA et al., 2012b), sendo por isso um sistema com processamento em *Real Time*.

Como já mencionado na Fundamentação Teórica, quanto menor o valor de latência, mais rápido se obtém resposta a um dado evento. Além disso, no quesito de processamento em tempo real, também é importante avaliar o valor de throughput, o qual no Spark é maior em comparação ao do Storm (ZAHARIA et al., 2013), favorecendo menor tempo de processamento.

Como base no que foi dito anteriormente, nesse quesito o Spark é mais adequado as

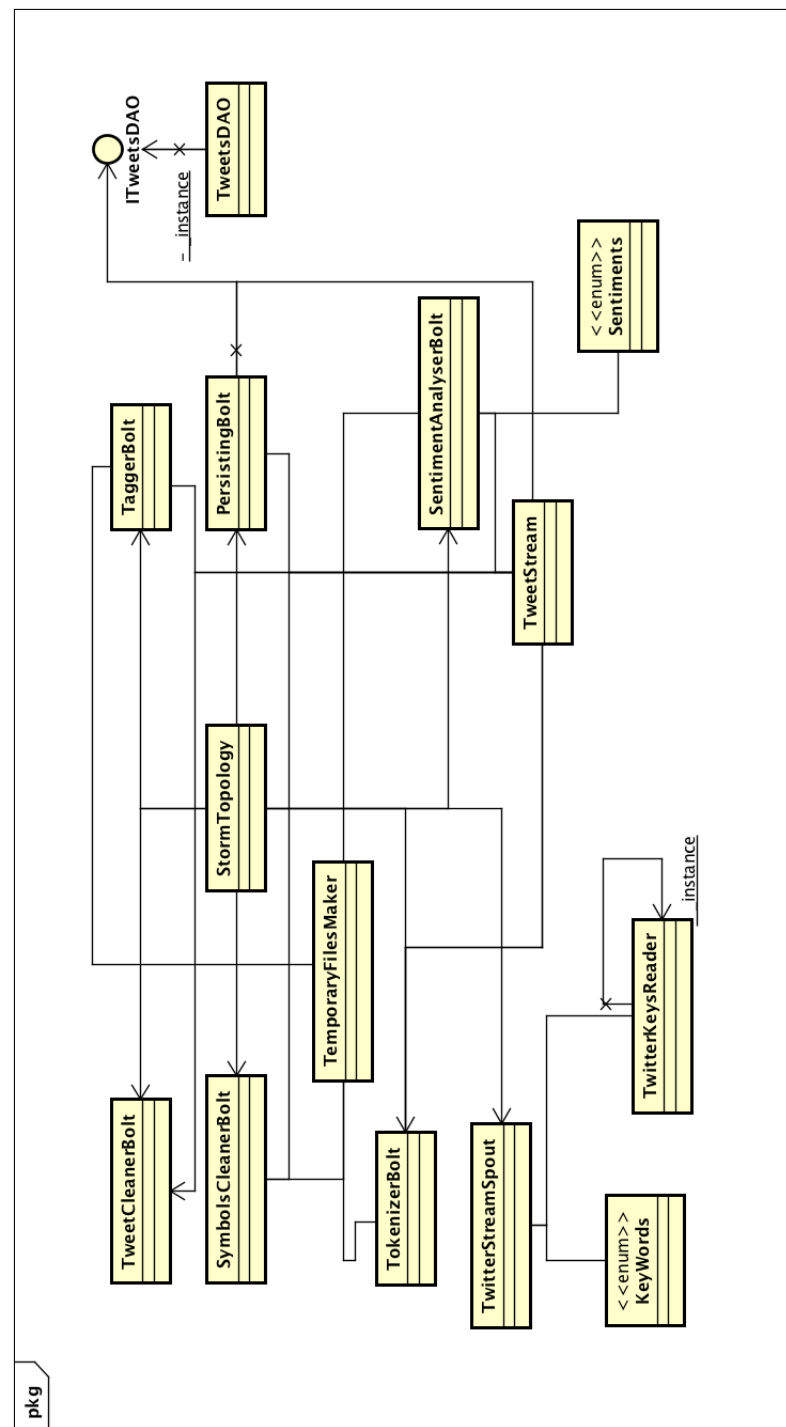


Figura 16: Diagrama de classes da aplicação utilizando o Storm

Fonte: Elaboração própria

aplicações desenvolvidas, pois elas estão inseridas num contexto em que a propriedade de *throughput* tem maior relevância. Isso, devido a quantidade de *tweets* processados, tanto para análise das polaridades de sentimentos, com o módulo Spark Streaming, quanto para

o processamento das métricas relacionadas a e-Participação.

3.3.2 Tolerância a Falhas

Discretized Streams (DStreams) é um modelo de programação para processamento de *streams* distribuídas, utilizado pelo Spark Streaming, capaz de fornecer Tolerância a Falhas, através do método *parallel recovery* (ZAHARIA et al., 2012c). Nesse modelo, a tolerância a falhas é implementada através do conceito *lineage*, o que permite as informações serem recuperadas paralelamente (ZAHARIA et al., 2012a).

O mecanismo de recuperação via *lineage* é definido por um grafo acíclico dirigido (DAG), por meio do qual RDDs e DStreams rastreiam, ao nível das partições RDDs, suas respectivas dependências e operações realizadas sob elas (ZAHARIA et al., 2012a). Sendo assim, os RDDs e DStreams conseguem "saber" como foram construídos. Podendo, conseqüentemente, cada nó do *cluster* reconstruí-lo paralela e eficientemente em caso de falhas. Especificamente, o processo de recuperação é realizado computando novamente uma determinada partição RDD, reexecutando as *tasks* que a originaram (ZAHARIA et al., 2012a).

Visando prevenir infinitas recomputações, também são realizados *checkpoints* num determinado espaço de tempo, com replicações assíncronas de RDDs. Tal procedimento, não é necessário para todo o conjunto de dados, pois, como já mencionado, a recuperação executada por nós em paralelo é realizada com demasiada eficiência (ZAHARIA et al., 2012a).

Todo o processo descrito até aqui é confiável quando a fonte dos dados pode ser lida novamente, no caso do Spark Streaming, é necessário haver alguma fonte externa para replicação dos dados (Apache Software Foundation, 2016g). Além disso, se o *Driver* for finalizado, devido ao fato dele manter o contexto da aplicação, todo o conteúdo em memória dos *executors* é perdido (Apache Software Foundation, 2016g).

No Storm, a Tolerância a Falhas é aplicada a cada um de seus componentes. Por exemplo, se o *worker* falha, ele é reinicializado pelo *Supervisor* no próprio nó (JAIN; NALYA, 2014). Caso o nó esteja indisponível, ou, falhando continuamente, suas *tasks* são então atribuídas a outro disponível no *cluster*, via Nimbus (HART; BHATNAGAR, 2015).

O Nimbus e os *supervisors*, armazenam seus estados no Zookeeper, podendo ser reinicializados sem perdê-los em caso de falha, se houver falha no Zookeeper, outra instância pode ser "eleita" para o lugar dele (JAIN; NALYA, 2014). Caso algum *supervisor* falhe, seus

workers são reatribuídos pelo Nimbus a outro *supervisor*, no entanto, ficando impedido de receberem novas tuplas (HART; BHATNAGAR, 2015).

Por sua vez, o Nimbus, dentre suas atribuições, é responsável também por reinicializar as *tasks* caso uma delas falhe, e se o mesmo acontecer com ele próprio, as *tasks* em execução não são afetadas, mas novas topologias são impedidas de serem submetidas ao *cluster* (JAIN; NALYA, 2014), assim como reatribuições (HART; BHATNAGAR, 2015).

O modelo de recuperação de falhas do Spark pode ser uma boa escolha caso a aplicação permita perda de dados, em prol de eficiência (ZAHARIA et al., 2012c). Caso contrário, é necessário configurar uma fonte externa para replicação dos dados que estão sendo processados. Em contraste, a arquitetura do Storm, busca possibilitar que seus componentes falhem havendo pouco prejuízo para a aplicação, ainda assim a replicação pode adicionar mais uma camada de confiabilidade.

Levando em consideração o exposto acima, a aplicação desenvolvida para o processamento de métricas, realiza-o em *batch*, podendo ter acesso a fonte de dados para coletá-los novamente, em caso de falha. Além disso, a eficiência foi priorizada, não havendo prejuízo ao utilizar o Spark. Para aplicação que realiza análise de polaridade dos sentimentos, processando *stream* de *tweets*, é mais interessante o suporte a Tolerância a Falhas do Storm, principalmente devido longo tempo de execução dela.

3.3.2.1 Garantia de processamento

Em adição a subseção anterior, o Spark Streaming e Storm possuem formas diferentes de garantir o processamento de um evento. No Spark Streaming há a garantia de que todo evento será processado exatamente uma vez (*Exactly Once*), sem perdas, ou, duplicadas, via *parallel recovery*, levando em consideração as observações já mencionadas (Apache Software Foundation, 2016g).

No Storm, por outro lado, não há suporte ao modelo *Exactly Once*, mas sim aos *At Least Once* e *At Most Once*. Em ordem, a primeira opção permite que o processamento seja realizado no mínimo uma vez, rastreando se o (a) evento (tupla) foi processado(a) ou não, através de seus *IDs* e mensagens informando "*ack*"(tupla processada), podendo haver duplicatas; o oposto ocorre na segunda alternativa, em que perdas são aceitas, processando os eventos no máximo uma vez (Apache Software Foundation, 2016h).

A prosta do Spark Streaming, nesse aspecto, é mais interessante para o processamento de *stream* de *tweets*, por garantir que a informação será processada uma única vez, através

do modelo *Exactly Once*.

3.3.3 Escalabilidade

Quanto ao requisito de escalabilidade, ambos suportam clusterização, portando são escaláveis horizontalmente, sendo o maior *cluster* Spark conhecido composto por 8.000 nós (Apache Software Foundation, 2016g). E, embora não tenha sido encontradas fontes confiáveis divulgando informações sobre o maior *cluster* Storm existente, sabe-se que ele é capaz de processar um milhão de mensagens com tamanho de 100 byte, por segundo e por nó (Apache Software Foundation, 2016h).

3.3.4 Modelo de programação

Conforme exposto no Cap. 2, no Spark os RDDs são conjuntos de dados que podem ser manipulados de forma distribuída, sendo possível realizar operações sob eles, gerando novos RDDs, através de transformações, ou, computando-os por meio das ações. O módulo Streaming, utiliza essa unidade como base da abstração DStream, conjunto de RDDs representando um *stream*. Tais conceitos do modelo de programação do Spark podem ser mais difíceis de abstrair, tendo uma classificação de baixo nível, se comparados ao do Storm.

Por outro lado, numa perspectiva alto nível, o Storm propõe o conceito de Topologia, composta por *bolts* e *spouts*. Os *spouts* são responsáveis pela entrada dos *streams* (conjuntos de tuplas) da aplicação, processados posteriormente pelos *bolts*. Devido a essas abstrações, conseqüentemente, pode haver maior facilidade em programar utilizando o Storm do que o Spark.

4 Resultados

Nesse capítulo, alguns trabalhos relacionados a essa monografia são mencionados na seção 4.0.1, buscando mostrar o que tem sido feito e o diferencial desse trabalho. A seção 4.0.2, por sua vez, trata a respeito dos resultados obtidos.

4.0.1 Trabalhos relacionados

Em (SAÉZ-MARTÍN; ROSSARIO; CABA-PEREZ, 2014), é desenvolvida uma análise das Cidades Inteligentes da Espanha, verificando se nelas há esforços para assegurar que os cidadãos tenham acesso as informações da cidade, podendo assim participar das problemáticas abordadas por seus respectivos governos.

Visando alcançar esse objetivo, primeiramente foram analisadas, descritivamente, as principais Redes Sociais utilizadas nessas cidades, tendo como resultado Facebook e Twitter. Na sequência, foram definidas variáveis independentes (métricas das Redes Sociais), dependentes (*Social Network Ratio*) e de controle (tempo de existência do perfil da Rede Social e Produto Interno Bruto), realizando sob elas uma análise exploratória, através de múltipla regressão linear.

Por fim, o estudo exploratório foi utilizado para determinar se as Cidades Inteligentes da Espanha faziam ou não uso das Redes Sociais, focando o nível de interação entre os cidadãos e seus governos locais. Como resultado dessa pesquisa, concluiu-se que, embora essas cidades sejam classificadas como Inteligentes, é preciso haver maior e-Participação nas Redes Sociais, posto que, atualmente, esse é um dos principais meios pelos quais as pessoas tem se comunicado.

Outro trabalho com a mesma temática, citado em (BONSÓN et al., 2012), realizou uma análise dos principais governos locais da União Européia, no quesito de e-Participação e dos fatores que a influencia. Com essa proposta, foram analisadas 75 cidades, representando 85% da população Européia, sendo também levado em consideração o estilo de gestão de suas respectivas autoridades.

A metodologia de estudo analisou, exploratoriamente, as Redes Sociais Twitter, Facebook, LinkedIn, YouTube e blogs da Google (Blogger), contruindo um Índice de Sofisticação não Exaustivo, composto por variáveis binárias. A construção desse índice contém os respectivos indicadores de cada Rede Social. Em seguida foi realizada uma análise de regressão para identificar como o estilo de gestão do governo e a facilidade com que a sociedade adotam novas tecnologias influenciam no índice elaborado.

Os resultados da pesquisa mostram que algumas das cidades analisadas (na época do estudo), estavam com iniciativas de e-Participação muito imaturas, além disso, que metade dos governos não tinham representação nas Redes Sociais. Sendo, por outro lado, massiva a presença de cidadãos nas Redes Sociais discutindo sobre a política local, entrega de serviços, e outros assuntos relacionados a cidade, havendo um isolamento de partes que deveriam interagir entre si. Por fim, concluiu-se também que o estilo de gestão dos governos locais não influenciam na adoção ou não das Redes Sociais, mas sim a facilidade com que a sociedade adota novas tecnologias.

Saindo do contexto de e-Participação, a referência (MORAIS, 2015) realiza um comparação entre o Apache Storm e Spark, relacionando-se com o estudo comparativo dessa monografia. Nela, o autor cita os casos de uso de cada uma delas, suas respectivas arquiteturas, comparando-as quanto ao modelo de processamento, latência, tolerância a falhas (especificamente, garantia de processamento), integração com processamento em *batch* e a diferentes linguagens.

4.0.2 Resultados

As tabelas contendo as métricas processadas sobre e-Participação, estão no apêndice desse trabalho, sendo a Tab. 4 um resumo de todas elas. Nela, as cidades estão classificadas de acordo com cada métrica, sendo os valores da coluna pontuação compostos pelo somatório dos pontos de todas as métricas. Os pontos são equivalentes a posição da classificação, ou seja, o 27º lugar representa 27 pontos; conseqüentemente, quanto menos pontos, melhor a colocação final. As cidades Porto Velho (RO) e Salvador (BH) foram desclassificadas por não terem informações sobre a métrica "tempo de resposta", indicando que não houve réplicas nos *tweets* coletados, conforme Tab. 10.

Em paralelo a essa classificação, o Connected Smart Cities classificou algumas das cidades brasileiras como Cidades Inteligentes (Connected Smartcities, 2015), levando em consideração 70 indicadores, sendo nenhum deles relacionados a e-Participação. A Tab. 3 contém somente a colocação das cidades analisadas por essa monografia. Como esperado,

Tabela 3: Classificação das cidades brasileiras como Cidades Inteligentes

UF	Capital	Colocação
RJ	Rio de Janeiro	1º
SP	São Paulo	2º
MG	Belo Horizonte	3º
DF	Brasília	4º
PR	Curitiba	5º
ES	Vitória	7º
SC	Florianópolis	8º
RS	Porto Alegre	9º
PE	Recife	10º
CE	Fortaleza	18º
GO	Goiânia	24º
PB	João Pessoa	29º
BA	Salvador	31º
SE	Aracaju	33º
PI	Teresina	35º

Fonte: (Connected Smartcities, 2015)

analisando ambas as classificações, nem todas as colocações são correspondentes.

Por exemplo, o Rio de Janeiro ocupa a primeira colocação na classificação das Cidades Inteligentes, enquanto que no quesito e-Participação, está em quarto lugar, observando-se essa diferença também em outras cidades. Em contraste, Goiânia, Porto Alegre, Recife, Fortaleza, João Pessoa, estão melhores classificadas quanto a e-Participação.

São Paulo em ambos os casos se manteve na segunda colocação, como esperado por ser referência mundial em Governo Aberto (Open Government Partnership, 2016), e Curitiba, devido ao fato de ser exemplo de comunicação em Redes Sociais (SANTOS; HARMATA, 2013), favorecendo a e-Participação. Por outro lado, a colocação de empate da prefeitura de São Luís com a de Curitiba foi um resultado não esperado.

A Fig. 17, ilustra a aplicação web para exibição do mapa relacionado as métricas e polaridades de sentimentos processadas. Como já mencionado no Cap. 3, para cada métrica (escolhida no menu seletor) é computada a média nacional, adicionando uma camada vermelha sobre a região com valor inferior a ela, e azul caso superior. Além disso, é possível obter informações detalhadas clicando em cima da região no mapa, conforme exibido na Fig. 18.

As aplicações que realizaram o processamento de stream de *tweets* em tempo real, foram executadas em dois dias (22/05 com Spark e 23/05 com Storm), durante o período

Tabela 4: Colocação dos perfis das prefeituras das capitais, de acordo com suas respectivas métricas

UF	Capital	A ¹	B ²	C ³	D ⁴	E ⁵	F ⁶	Pontos	Colocação
AC	Rio Branco	24°	20°	23°	22°	1°	19°	109	19°
AL	Maceió	12°	19°	17°	10°	19°	18°	88	15°
AM	Manaus	21°	18°	16°	17°	14°	22°	102	18°
AP	Macapá	14°	3°	6°	7°	13°	12°	49	5°
BA	Salvador	18°	25°	25°	27°	-	27°	122	-
CE	Fortaleza	16°	15°	13°	21°	10°	9°	84	14°
DF	Brasília	10°	10°	11°	18°	3°	13°	65	10°
ES	Vitória	15°	23°	21°	13°	8°	21°	96	16°
GO	Goiânia	1°	11°	12°	15°	4°	4°	44	3°
MA	São Luís	6°	1°	1°	9°	11°	8°	29	1°
MG	Belo Horizonte	19°	9°	5°	12°	7°	10°	57	7°
MS	Campo Grande	20°	26°	27°	25°	5°	26°	129	23°
MT	Cuiabá	26°	27°	24°	20°	15°	23°	129	23°
PA	Belém	27°	22°	19°	16°	16°	20°	120	21°
PB	João Pessoa	2°	16°	14°	4°	24°	7°	59	8°
PE	Recife	11°	14°	10°	3°	25°	6°	61	9°
PI	Teresina	13°	6°	18°	5°	17°	16°	68	12°
PR	Curitiba	8°	2°	2°	1°	21°	2°	29	1°
RJ	Rio de Janeiro	17°	7°	4°	14°	12°	1°	48	4°
RN	Natal	9°	8°	7°	19°	6°	17°	66	11°
RO	Porto Velho	23°	21°	26°	26°	-	25°	121	-
RR	Boa Vista	24°	24°	22°	11°	22°	24°	127	22°
RS	Porto Alegre	3°	5°	8°	6°	20°	14°	49	5°
SC	Florianópolis	25°	17°	20°	23°	9°	5°	99	17°
SE	Aracaju	7°	13°	15°	24°	2°	15°	76	13°
SP	São Paulo	5°	4°	3°	2°	23°	3°	32	2°
TO	Palmas	4°	12°	9°	8°	18°	11°	55	6°

¹ Métrica de tweets por dia

² Métrica de retweets por dia

³ Métrica de favoritos

⁴ Métrica de réplicas

⁵ Métrica de tempo de resposta

⁶ Métrica de menções

Fonte: Elaboração própria

de 12h, estando os resultados do primeiro dia na Tab.5, e do segundo na Tab.6.

Com base nesses resultados, para cada polaridade foi calculada a média entre todas as cidades, utilizada para construir o mapa da aplicação web (Fig.19 e Fig.20). No qual, pode-se visualizar a polaridade dos sentimentos dos *tweets* que mencionam os perfis do Twitter em análise. Além disso, observa-se também nas tabelas mencionadas, que as cida-

des melhores classificadas pela primeira aplicação interagiram mais com suas respectivas prefeituras, reforçando os primeiros resultados encontrados.

Quanto ao estudo comparativo entre o Storm e o Spark, podemos dizer que a primeira opção, respectivamente, para o caso de uso estudado, é melhor de ser utilizada como aplicação para processamento de *streams* de *tweets*. Apesar do valor de *throughput* do Spark ser superior, e dele fornecer um modelo de processamento de dados mais eficiente, a arquitetura de Tolerância a Falhas do Storm precisa ser priorizada, devido ao longo



Figura 17: Ilustração da aplicação web desenvolvida

Fonte: Elaboração própria

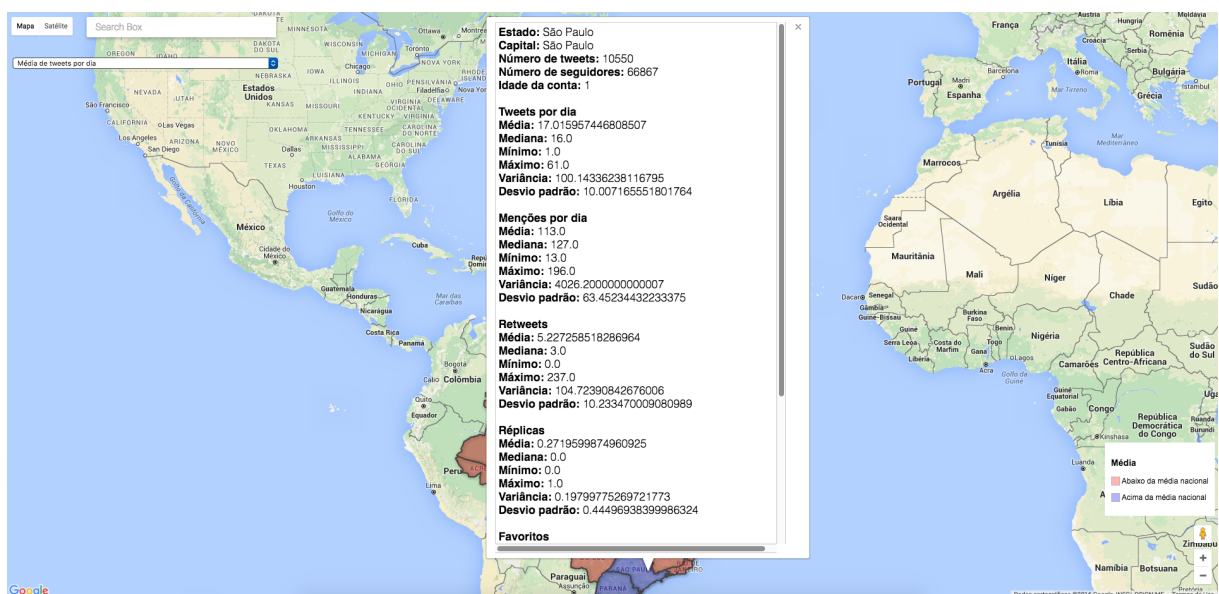


Figura 18: Ilustração do painel informativo da aplicação web

Fonte: Elaboração própria

tempo de execução da aplicação.

Por fim, com base nos resultados citados anteriormente, o trabalho realizado por essa monografia se diferencia dos trabalhos relacionados, por proporcionar aplicações para processamento de grande volume de dados, provenientes do Twitter, visando obter métricas, processamento e visualização de métricas sobre e-Participação.



Figura 19: Ilustração das polaridades de sentimentos processadas pelo Spark
Fonte: Elaboração própria

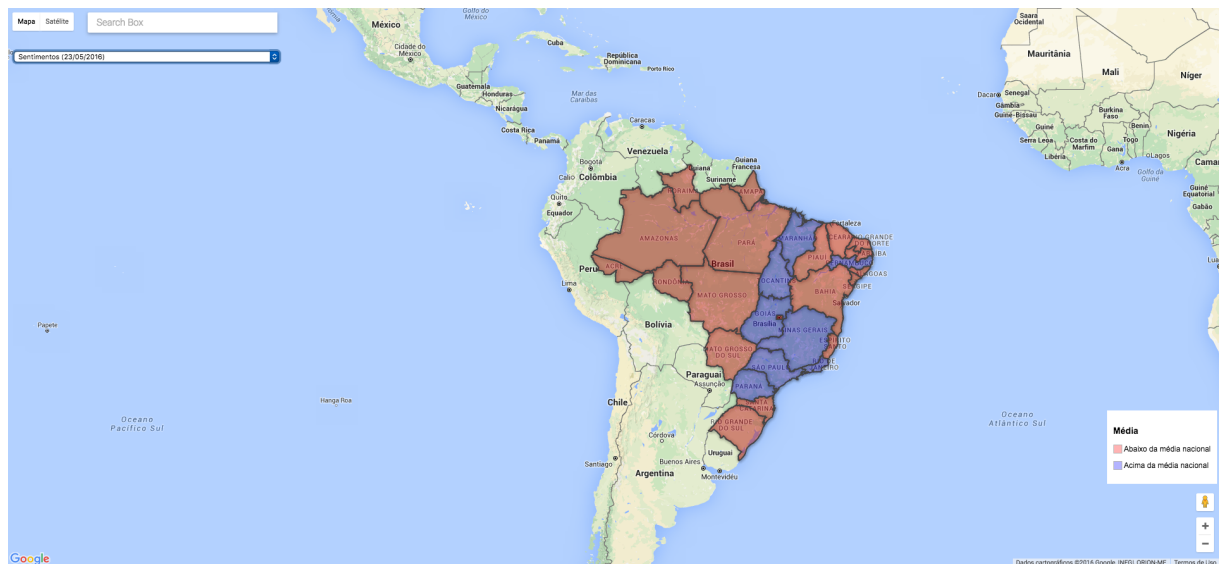


Figura 20: Ilustração das polaridades de sentimentos processadas pelo Storm
Fonte: Elaboração própria

Tabela 5: Polaridade dos sentimentos processados pelo Spark, referente ao dia 22/05/2016

UF	Capital	Positiva	Negativa	Neutra
AC	Rio Branco	0	0	0
AL	Maceió	0	0	2
AM	Manaus	0	0	0
AP	Macapá	0	0	0
BA	Salvador	0	0	7
CE	Fortaleza	0	0	13
DF	Brasília	0	0	14
ES	Vitória	0	0	0
GO	Goiânia	2	0	7
MA	São Luís	3	1	27
MG	Belo Horizonte	6	7	8
MS	Campo Grande	1	0	0
MT	Cuiabá	0	0	0
PA	Belém	0	0	4
PB	João Pessoa	1	0	17
PE	Recife	9	0	24
PI	Teresina	0	0	13
PR	Curitiba	12	13	51
RJ	Rio de Janeiro	12	3	102
RN	Natal	0	4	2
RO	Porto Velho	0	0	0
RR	Boa Vista	0	0	0
RS	Porto Alegre	0	0	1
SC	Florianópolis	2	1	33
SE	Aracaju	0	0	1
SP	São Paulo	38	9	119
TO	Palmas	2	10	12

Fonte: Elaboração própria

Tabela 6: Polaridade dos sentimentos processados pelo Storm, referente ao dia 22/05/2016

UF	Capital	Positiva	Negativa	Neutra
AC	Rio Branco	0	1	1
AL	Maceió	0	0	5
AM	Manaus	0	0	9
AP	Macapá	0	0	0
BA	Salvador	0	0	7
CE	Fortaleza	0	0	36
DF	Brasília	2	4	18
ES	Vitória	0	0	0
GO	Goiânia	13	9	102
MA	São Luís	4	4	22
MG	Belo Horizonte	3	4	22
MS	Campo Grande	0	0	0
MT	Cuiabá	0	0	0
PA	Belém	0	1	15
PB	João Pessoa	1	4	35
PE	Recife	4	1	34
PI	Teresina	1	0	33
PR	Curitiba	16	3	90
RJ	Rio de Janeiro	9	1	91
RN	Natal	2	3	29
RO	Porto Velho	0	0	0
RR	Boa Vista	0	0	0
RS	Porto Alegre	1	3	13
SC	Florianópolis	2	3	45
SE	Aracaju	2	1	10
SP	São Paulo	11	5	38
TO	Palmas	3	3	11

Fonte: Elaboração própria

5 Conclusões

Atualmente, a quantidade de pessoas e coisas conectadas à Internet tem gerado dados massivamente, os quais processados podem ajudar a resolver importantes problemas enfrentados pela sociedade. Por exemplo, como demonstrado nesse trabalho, é possível utilizar ferramentas para processamento de grande volume de dados buscando obter uma visão do nível de e-Participação em Redes Sociais.

Embora indicadores sobre o nível de e-Participação sejam importantes, alguns estudos têm classificado determinadas cidades como Inteligentes, sem levá-los em consideração. O que é um problema, pois os cidadãos podem desempenhar relevantes contribuições com o governo local, objetivando o desenvolvimento da cidade e resolução de problemas ainda existentes.

Muitas prefeituras do Brasil, principalmente as afastadas das grandes metrópoles, de acordo com as métricas coletadas, tem feito pouco uso de seus perfis no Twitter, indicando um baixo nível de interação entre seus respectivos governos locais e cidadãos. Em contraste, as prefeituras com melhores classificações de e-Participação, encontram-se próximas as regiões litorâneas, com maior desenvolvimento econômico.

Nos aspectos do desenvolvimento das aplicações, conclui-se que a ferramenta Spark é a melhor indicada para processamento de *tweets* em *batch*, enquanto que o Storm é mais aconselhado para o processamento de stream de *tweets*, principalmente devido a sua arquitetura de Tolerância a Falhas.

5.1 Limitações

Como uma das limitações desse trabalho, pode-se mencionar o limite da API do Twitter quanto ao número disponível de *tweets* do histórico dos perfis, de máximo 3.200. Apesar disso, dependendo da frequência de publicação, é possível acessar tweets dentro de um intervalo de tempo considerável, ou, todos existente na conta. Por exemplo, num

perfil com alta frequência de publicações, como o da prefeitura de Curitiba, o *tweet* mais antigo coletado tem como data o dia 19/08/2015; em contraste, numa conta pouca ativa, como a da prefeitura de Salvador, todos os *tweets* foram processados, no total de 1231.

Outra limitação foi a quantidade de tempo em que foi possível manter as aplicações responsáveis pelo processamento de *stream* de *tweets* em execução, devido a infraestrutura disponível. O ideal seria mantê-las executando pelo período de um mês, para coletar uma quantidade de dados mais significativa.

5.2 Trabalhos Futuros

Como trabalho futuro, pretende-se continuar o desenvolvimento da aplicação responsável pela coleta de *tweets* e processamento de métricas relacionadas a e-Participação, agregando a ela técnicas de Inteligência Artificial para análise do conteúdo das mensagens. Tendo isso como propósito, pretende-se utilizar o módulo MLib do Spark.

Além disso, objetiva-se melhorar questões de usabilidade e interface da aplicação web desenvolvida. Também, buscar novas funcionalidades possíveis de serem agregadas a ela, realizando para isso uma Análise de Requisitos.

Referências

- Apache Software Foundation. *Apache CXF*. 2016. Disponível em: <<http://cxf.apache.org>>. Acesso em Maio 20, 2016.
- Apache Software Foundation. *Apache Flink*. 2016. Disponível em: <<http://flink.apache.org>>. Acesso em Maio 7, 2016.
- Apache Software Foundation. *Apache Hadoop YARN*. 2016. Disponível em: <<http://hadoop.apache.org>>. Acesso em Abril 22, 2016.
- Apache Software Foundation. *Apache Mesos*. 2016. Disponível em: <<http://mesos.apache.org>>. Acesso em Abril 23, 2016.
- Apache Software Foundation. *Apache OpenNLP*. 2016. Disponível em: <<https://opennlp.apache.org>>. Acesso em Maio 21, 2016.
- Apache Software Foundation. *Apache Samza*. 2016. Disponível em: <<http://samza.apache.org>>. Acesso em Maio 06, 2016.
- Apache Software Foundation. *Apache Spark*. 2016. Disponível em: <<http://spark.apache.org>>. Acesso em Abril 22, 2016.
- Apache Software Foundation. *Apache Storm*. 2016. Disponível em: <<http://storm.apache.org>>. Acesso em Abril 30, 2016.
- Apache Software Foundation. *Apache Thrift*. 2016. Disponível em: <<http://thrift.apache.org>>. Acesso em Abril 30, 2016.
- Apache Software Foundation. *Apache ZooKeeper*. 2016. Disponível em: <<https://zookeeper.apache.org>>. Acesso em Abril 30, 2016.
- BONSÓN, E. et al. Local e-governbment 2.0: Social media and corporate transparency in municipalities. *Government Information Quarterly*, v. 29, n. 2, 2012.
- CISCO. *Internet of Everything*. 2016. Disponível em: <<http://ioeassessment.cisco.com/pt-br>>. Acesso em Maio 07, 2016.
- CLARKE, R. *Smart Cities and the Internet of Everything: The Foundation for Delivering Next Generation CitizenServices*. 2013. Disponível em: <<http://www.cisco.com>>. Acesso em Maio 07, 2016.
- Connected Smartcities. *Ranking Connected Smartcities*. 2015. Disponível em: <<http://www.connectedsmartcities.com.br>>. Acesso em Maio 08, 2016.
- COULOURIS, G. et al. *Sistemas Distribuídos Conceitos e Projetos*. 5st. ed. [S.l.]: Bookman, 2013.

- DAS, T. *Large-scale near-real-time stream processing*. 2016. Disponível em: <<https://goo.gl/QSQ5uK>>. Acesso em Maio 22, 2016.
- DATAARTISANS. *Apache Flink Training - System Overview*. 2015. Disponível em: <<http://pt.slideshare.net>>. Acesso em Maio 7, 2016.
- DIAS, F. *Brazilian Smart Cities e-Participation Metrics based on Twitter*. 2016. Disponível em: <<https://goo.gl/0I3Vgj>>. Acesso em Maio 20, 2016.
- DIAS, F. *Repositório no Git Hub*. 2016. Disponível em: <<https://github.com/fcas>>. Acesso em Maio 21, 2016.
- Django Software Foundation. *Django*. 2016. Disponível em: <<https://www.djangoproject.com>>. Acesso em Maio 22, 2016.
- EMC. *The Digital Universe of Opportunities: Rich Data and the Increasing Value of the Internet of Things*. 2014. Disponível em: <<https://www.emc.com>>. Acesso em Maio 11, 2016.
- ESPERTTECH. 2016. Disponível em: <<http://www.espertech.com>>. Acesso em Maio 7, 2016.
- Google. *Google Developers*. 2016. Disponível em: <<https://developers.google.com>>. Acesso em Maio 22, 2016.
- Google. *Google Fusion Tables*. 2016. Disponível em: <<http://tables.googlelabs.com>>. Acesso em Maio 20, 2016.
- Google Scholar. 2016. Disponível em: <<https://scholar.google.com>>. Acesso em Maio 7, 2016.
- H., M. et al. *Special section on smart grids: A hub of interdisciplinary research*. 2016.
- HARDIN, G. A vision of social media in the spanish smartest cities. *Science*, v. 162, 1968. Disponível em: <<http://science.sciencemag.org>>. Acesso em Maio 08, 2016.
- HART, B.; BHATNAGAR, K. *Building Python Real-Time Applications with Storm*. 1st. ed. [S.l.]: Packt Publishing, 2015.
- JAIN, A.; NALYA, A. *Learning Storm*. 1st. ed. [S.l.]: Packt Publishing, 2014.
- KARAU, H. et al. *Learning Spark*. 1st. ed. [S.l.]: O'Reilly Media, 2015.
- KILLELEA, P. *Web Performance Tuning*. 2st. ed. [S.l.]: O'Reilly Media, 2002.
- KLEPPMANN, M. *Stream processing, Event sourcing, Reactive, CEP? and making sense of it all*. 2015. Disponível em: <<http://www.confluent.io>>. Acesso em Maio 7, 2016.
- LESKOVEC, J.; RAJARAMAN, A.; ULLMAN, J. *Mining of Massive Datasets*. 2016. Disponível em: <<http://infolab.stanford.edu/~ullman>>. Acesso em Maio 21, 2016.
- LUCKHAM, D. *What's the Difference Between ESP and CEP?* 2006. Disponível em: <<http://www.complexevents.com>>. Acesso em Maio 7, 2016.

MACIEL, C.; ROQUE, L.; GARCIA, A. *Democratic Citizenship Community: a social network to promote e-Deliberative process*. 2009.

MAGALHÃES, L. *Instâncias e mecanismos de participação em ambientes virtuais: análise das experiências de participação política online em políticas públicas*. 2015. 39º Encontro Anual da Associação Nacional de Pós-Graduação e Pesquisa em Ciências Sociais.

MongoDB. 2016. Disponível em: <<https://www.mongodb.com>>. Acesso em Maio 20, 2016.

MORAIS, T. *Survey on Frameworks for Distributed Computing: Hadoop, Spark and Storm*. 2015. Disponível em: <<https://www.emc.com>>. Acesso em Maio 11, 2016.

NARSUDE, C. *Real-Time Event Stream Processing ? What are your choices?* 2015. Disponível em: <<https://www.datatorrent.com>>. Acesso em Maio 5, 2016.

ONU. *World Urbanization Prospects The 2014 Revision*. 2014. Disponível em: <<http://esa.un.org>>. Acesso em Maio 10, 2016.

Open Government Partnership. *Análise de Caso da Prefeitura de Curitiba ? A relação entre humor e serviço público na comunicação em redes sociais*. 2016. Disponível em: <<http://www.opengovpartnership.org/blog/ogp-webmaster/2016/04/12/announcing-commencement-subnational-pilot-program-15-countries>>. Acesso em Maio 26, 2016.

PRIBERAM. *Definição de deliberação*. 2016. Disponível em: <<https://www.priberam.pt>>. Acesso em Maio 14, 2016.

RUOHONEN, K. *Graph Teory*. 2013. Disponível em: <http://math.tut.fi/~ruohonen/GT_English.pdf>. Acesso em Maio 01, 2016.

SANDU, D. *Without stream processing, there's no big data and no Internet of things*. 2014. Disponível em: <<http://venturebeat.com>>. Acesso em Maio 7, 2016.

SANTOS, J.; HARMATA, F. *Análise de Caso da Prefeitura de Curitiba ? A relação entre humor e serviço público na comunicação em redes sociais*. 2013. Disponível em: <<http://www.wegov.net.br/wp-content/uploads/2015/03/Artigo-Análise-de-Caso-da-Prefs.pdf>>. Acesso em Maio 26, 2016.

SAÉZ-MARTÍN, A.; ROSSARIO, A. Haro-de; CABA-PEREZ, C. A vision of social media in the spanish smartest cities. *Transforming Government: People, Process and Policy*, v. 8, n. 4, 2014.

SHIN, K. G.; RAMANATHAN, P. Real-time computing: A new discipline of computer science and engineering. *Proceedings of the IEEE*, v. 82, n. 1, 1994.

Siciliane, T. *Streaming Big Data: Storm, Spark and Samza*. 2015. Disponível em: <<https://dzone.com>>. Acesso em Maio 7, 2016.

SILVA, M. et al. *SentiLex-PT 01*. 2016. Disponível em: <http://dmir.inesc-id.pt/project/SentiLex-PT_01>. Acesso em Maio 21, 2016.

SOMMERVILLE, I. *Engenharia de Software*. 9th. ed. [S.l.]: Pearson, 2011.

Stack Over Flow. 2016. Disponível em: <<https://http://stackoverflow.com>>. Acesso em Maio 7, 2016.

Techopedia. 2016. Disponível em: <<https://www.techopedia.com>>. Acesso em Abril 23, 2016.

TREAT, T. *Stream Processing and Probabilistic Methods: Data at Scale*. 2015. Disponível em: <<http://bravenewgeek.com>>. Acesso em Maio 7, 2016.

TWITTER. *Twitter Developers*. 2016. Disponível em: <<https://dev.twitter.com>>. Acesso em Maio 20, 2016.

TWITTER4J. 2016. Disponível em: <<http://twitter4j.org/>>. Acesso em Maio 20, 2016.

WÄHNER, K. *Real-Time Stream Processing as Game Changer in a Big Data World with Hadoop and Data Warehouse*. 2014. Disponível em: <<http://www.infoq.com>>. Acesso em Maio 7, 2016.

XU, L.; JU, H.; REN, H. *Gitbook: SparkInternals*. 2015. Disponível em: <<https://github.com/JerryLead/SparkInternals>>. Acesso em Abril 30, 2016.

ZAHARIA, M. et al. *Resilient Distributed Datasets: A Fault-Tolerant Abstraction for In-Memory Cluster Computing*. 2012. Disponível em: <<http://www-bcf.usc.edu/~minlanyu/teach/csci599-fall12/papers>>. Acesso em Maio 23, 2016.

ZAHARIA, M. et al. *Discretized Streams: A Fault Tolerant Model for Scalable Stream Processing*. 2012. Disponível em: <<http://www.eecs.berkeley.edu/Pubs/TechRpts/2012>>. Acesso em Maio 22, 2016.

ZAHARIA, M. et al. *Discretized Streams: An Efficient and Fault-Tolerant Model for Stream Processing on Large Clusters*. 2012. Disponível em: <<http://www.eecs.berkeley.edu/~haoyuan/papers>>. Acesso em Maio 23, 2016.

ZAHARIA, M. et al. *Discretized Streams: Fault Tolerant Streaming Computation at Scale*. 2013. Disponível em: <<https://people.csail.mit.edu/matei/papers/2013>>. Acesso em Maio 22, 2016.

ZAPLETAL, P. *Introduction Into Distributed Real-Time Stream Processing*. 2015. Disponível em: <<http://www.cakesolutions.net>>. Acesso em Maio 7, 2016.

APÊNDICE A – Primeiro apêndice

Tabela 7: Métricas relacionadas ao número de tweets por dia dos perfis das prefeituras das capitais, referentes aos 3.200 tweets anteriores a 18/05/2016

UF	Capital	Média	Med.	Mín.	Máx.	Variância	D. Padrão
AC	Rio Branco	4.1106	4	1	23	5.0945	2.2571
AL	Maceió	9.9378	10	1	35	15.3750	3.9210
AM	Manaus	6.5040	6	1	44	26.4491	5.1428
AP	Macapá	9.0395	7	1	37	51.0492	7.1448
BA	Salvador	7.6875	6	1	36	30.0648	5.4831
CE	Fortaleza	8.1012	8	1	24	16.4454	4.0552
DF	Brasília	10.0946	10	1	63	31.2339	5.5887
ES	Vitória	8.6253	8	1	71	33.3448	5.7744
GO	Goiânia	41.0000	39	1	104	684.2307	26.1578
MA	São Luís	15.6862	14	5	38	18.0192	4.2449
MG	Belo Horizonte	7.5805	7	1	24	9.1297	3.0215
MS	Campo Grande	7.2539	6	1	30	35.1735	5.9307
MT	Cuiabá	3.5794	3	1	32	6.6888	2.5862
PA	Belém	3.5637	3	1	13	4.3063	2.0751
PB	João Pessoa	25.3968	27	3	45	110.1917	10.4972
PE	Recife	10.0597	9	1	35	40.2259	6.3423
PI	Teresina	9.7530	9	1	32	29.1127	5.3956
PR	Curitiba	13.1106	11	1	47	87.721	9.3659
RJ	Rio de Janeiro	7.9404	7	1	39	29.7185	5.4514
RN	Natal	10.2893	10	1	27	30.3406	5.5082
RO	Porto Velho	4.4649	4	1	24	6.7806	2.6039
RR	Boa Vista	4.5070	4	1	23	8.2865	2.8786
RS	Porto Alegre	22.0689	19	1	126	348.9193	18.6793
SC	Florianópolis	3.7037	3	1	25	13.9446	3.7342
SE	Aracaju	13.2780	15	1	39	76.6737	8.7563
SP	São Paulo	17.0159	16	1	61	100.1433	10.0071
TO	Palmas	19.0297	18	2	53	47.2550	6.8742

Fonte: Elaboração própria

Tabela 8: Métricas relacionadas ao número de retweets dos perfis das prefeituras das capitais, referentes aos 3.200 tweets anteriores a 18/05/2016

UF	Capital	Média	Med.	Mín.	Máx.	Variância	D. Padrão
AC	Rio Branco	0.3885	0	0	33	1.5863	1.2595
AL	Maceió	0.4881	0	0	49	2.0948	1.4473
AM	Manaus	0.4962	0	0	162	12.5106	3.5370
AP	Macapá	5.8987	5	0	37	21.9878	4.6891
BA	Salvador	0.0837	0	0	2	0.0929	0.3049
CE	Fortaleza	0.7656	0	0	32	1.5338	1.2384
DF	Brasília	1.6449	1	0	329	63.2714	1.9681
ES	Vitória	0.3018	0	0	23	0.7576	0.8704
GO	Goiânia	1.6332	1	0	18	3.5193	1.8759
MA	São Luís	14.5868	15	0	47	147.1399	12.1301
MG	Belo Horizonte	2.5498	1	0	308	53.3316	7.3028
MS	Campo Grande	0.0784	0	0	3	0.0841	0.2901
MT	Cuiabá	0.0765	0	0	4	0.0919	0.3032
PA	Belém	0.3258	0	0	10	0.6245	0.7902
PB	João Pessoa	0.6059	0	0	14	1.4487	1.2036
PE	Recife	1.3226	0	0	74	12.8881	3.5900
PI	Teresina	2.7886	0	0	2274	2822.6661	53.1287
PR	Curitiba	7.9868	1	0	842	1044.1073	32.3126
RJ	Rio de Janeiro	2.6015	1	0	2868	2611.8290	51.1060
RN	Natal	2.5653	2	0	45	13.9157	3.7303
RO	Porto Velho	0.3559	0	0	5	1.0223	1.0111
RR	Boa Vista	0.2621	0	0	20	0.9140	0.9560
RS	Porto Alegre	4.9975	2	0	209	106.0212	10.2966
SC	Florianópolis	0.5096	0	0	27	1.1811	1.0868
SE	Aracaju	1.3246	1	0	14	1.8780	1.3704
SP	São Paulo	5.2272	3	0	237	104.7239	10.2334
TO	Palmas	1.3872	1	0	31	3.3871	1.8404

Fonte: Elaboração própria

Tabela 9: Métricas relacionadas ao número de favoritos dos perfis das prefeituras das capitais, referentes aos 3.200 tweets anteriores a 18/05/2016

UF	Capital	Média	Med.	Mín.	Máx.	Variância	D. Padrão
AC	Rio Branco	0.1981	0	0	10	0.2872	0.5359
AL	Maceió	0.8884	0	0	32	2.9797	1.72618
AM	Manaus	1.0487	1	0	40	3.5744	1.8906
AP	Macapá	3.3284	3	0	22	7.8843	2.8079
BA	Salvador	0.0821	0	0	2	0.0916	0.3027
CE	Fortaleza	1.8134	1	0	22	2.6636	1.6320
DF	Brasília	1.9681	1	0	504	160.0064	12.6493
ES	Vitória	0.4421	0	0	15	0.6922	0.8320
GO	Goiânia	1.9177	1	0	20	3.7246	1.9299
MA	São Luís	16.3471	18	0	63	149.8610	12.2417
MG	Belo Horizonte	3.4410	2	0	257	37.6513	6.1360
MS	Campo Grande	0.0025	0	0	1	0.0024	0.0499
MT	Cuiabá	0.1206	0	0	8	0.1629	0.4036
PA	Belém	0.5028	0	0	9	0.8356	0.9141
PB	João Pessoa	1.1934	1	0	37	4.0453	2.0113
PE	Recife	2.1312	1	0	39	8.2941	2.8799
PI	Teresina	0.8487	0	0	12	1.5913	1.2614
PR	Curitiba	12.7833	1	0	443	698.3285	26.4259
RJ	Rio de Janeiro	3.5790	2	0	2216	1543.9374	39.2929
RN	Natal	2.6521	2	0	25	7.8230	2.7969
RO	Porto Velho	0.0324	0	0	9	0.0934	0.3057
RR	Boa Vista	0.3943	0	0	9	0.6482	0.8051
RS	Porto Alegre	2.2115	0	0	117	37.0543	6.0872
SC	Florianópolis	0.4428	0	0	22	1.1186	1.0576
SE	Aracaju	1.1550	1	0	10	1.9697	1.4034
SP	São Paulo	4.3504	0	0	213	101.2060	10.0601
TO	Palmas	2.2001	1	0	40	7.5964	2.7561

Fonte: Elaboração própria

Tabela 10: Métricas relacionadas ao número de réplicas dos perfis das prefeituras das capitais, referentes aos 3.200 tweets anteriores a 18/05/2016

UF	Capital	Média	Med.	Mín.	Máx.	Variância	D. Padrão
AC	Rio Branco	0.0046	0	0	1	0.0046	0.0683
AL	Maceió	0.0800	0	0	1	0.0736	0.2712
AM	Manaus	0.0228	0	0	1	0.0222	0.1493
AP	Macapá	0.0884	0	0	1	0.0806	0.2839
BA	Salvador	0	0	0	0	0	0
CE	Fortaleza	0.0099	0	0	1	0.0098	0.0994
DF	Brasília	0.0218	0	0	1	0.0213	0.1462
ES	Vitória	0.0356	0	0	1	0.0343	0.1853
GO	Goiânia	0.0253	0	0	1	0.0246	0.1571
MA	São Luís	0.0825	0	0	1	0.0756	0.2751
MG	Belo Horizonte	0.0375	0	0	1	0.0361	0.1900
MS	Campo Grande	0.0012	0	0	1	0.0012	0.0353
MT	Cuiabá	0.0118	0	0	1	0.0117	0.1083
PA	Belém	0.0244	0	0	1	0.0238	0.1545
PB	João Pessoa	0.2106	0	0	1	0.1662	0.4077
PE	Recife	0.2525	0	0	1	0.1887	0.4344
PI	Teresina	0.1337	0	0	1	0.1158	0.3404
PR	Curitiba	0.5395	1	0	1	0.2484	0.4984
RJ	Rio de Janeiro	0.0315	0	0	1	0.0305	0.1748
RN	Natal	0.0118	0	0	1	0.0117	0.1083
RO	Porto Velho	0	0	0	0	0	0
RR	Boa Vista	0.0403	0	0	1	0.0386	0.1966
RS	Porto Alegre	0.1231	0	0	1	0.1079	0.3285
SC	Florianópolis	0.0046	0	0	1	0.0046	0.0683
SE	Aracaju	0.0015	0	0	1	0.0015	0.0394
SP	São Paulo	0.2719	0	0	1	0.1979	0.4449
TO	Palmas	0.0878	0	0	1	0.0801	0.2831

Fonte: Elaboração própria

Tabela 11: Métricas relacionadas ao tempo de resposta (em minutos) dos perfis das prefeituras das capitais, referentes aos 3.200 tweets anteriores a 18/05/2016

UF	Capital	Média	Med.	Mín.	Máx.	Variância	D. Padrão
AC	Rio Branco	0.0970	0	0	214	14.9066	3.8609
AL	Maceió	47.8646	0	0	4360	86593.4688	294.2676
AM	Manaus	16.3806	0	0	9501	64431.6201	253.8338
AP	Macapá	10.5509	0	0	2341	12090.3230	109.9560
BA	Salvador	0	0	0	0	0	0
CE	Fortaleza	9.9012	0	0	5039	35491.4871	188.3918
DF	Brasília	2.0675	0	0	1291	1593.4398	0.1060
ES	Vitória	6.7112	0	0	9607	35471.7322	188.3394
GO	Goiânia	2.5384	0	0	1108	1688.0865	41.0863
MA	São Luís	10.0528	0	0	4334	14292.01	119.5491
MG	Belo Horizonte	3.9512	0	0	4522	8943.9869	94.5726
MS	Campo Grande	2.7471	0	0	2905	7902.8722	88.8981
MT	Cuiabá	26.1856	0	0	35914	540769.2511	735.3701
PA	Belém	27.1967	0	0	5443	83814.4537	289.5072
PB	João Pessoa	352.4075	0	0	27344	2726035.1595	1651.0709
PE	Recife	669.4376	0	0	72134	13843379.6277	3720.6692
PI	Teresina	29.9327	0	0	4155	47570.1533	218.1058
PR	Curitiba	83.9431	0	0	25372	1141796.2367	1068.5486
RJ	Rio de Janeiro	10.2378	0	0	7342	37814.4137	194.4592
RN	Natal	3.40625	0	0	2752	4488.0193	66.9926
RO	Porto Velho	0	0	0	0	0	0
RR	Boa Vista	120.8646	0	0	45988	2604294.3432	1613.7826
RS	Porto Alegre	52.7303	0	0	11821	186125.3069	431.4224
SC	Florianópolis	6.7381	0	0	3989	17523.7701	132.3773
SE	Aracaju	0.8018	0	0	1590	913.1263	30.2179
SP	São Paulo	240.1481	0	0	11561	813833.7904	902.1273
TO	Palmas	33.2355	0	0	52091	901583.5269	949.5175

Fonte: Elaboração própria

Tabela 12: Métricas relacionadas ao número de menções por dia dos perfis das prefeituras das capitais, referentes aos 3.200 tweets anteriores a 18/05/2016

UF	Capital	Média	Med.	Mín.	Máx.	Variância	D. Padrão
AC	Rio Branco	7.7777	9	2	11	6.3950	2.5288
AL	Maceió	11.8888	6	3	59	286.5432	16.9275
AM	Manaus	4.1428	5	2	7	2.9795	1.7261
AP	Macapá	41.7	28	3	107	1210.21	34.7880
BA	Salvador	0	0	0	0	0	0
CE	Fortaleza	47.7	49	67	26	148.6099	12.1905
DF	Brasília	35.8	40	16	50	123.7599	11.1247
ES	Vitória	4.8	4	1	12	10.9599	3.3105
GO	Goiânia	85.4	76	24	154	1681.04	41
MA	São Luís	51.9	56	5	89	459.6899	21.4403
MG	Belo Horizonte	42.3	43	7	66	256.81	16.0252
MS	Campo Grande	0	0	0	0	0	0
MT	Cuiabá	1.6666	1	1	3	0.5555	0.7453
PA	Belém	7.5555	7	3	13	8.2469	2.8717
PB	João Pessoa	52.8888	51	28	82	244.0987	15.6236
PE	Recife	58.3333	50	42	89	299.5555	17.3076
PI	Teresina	21.3333	18	11	35	67.1111	8.1921
PR	Curitiba	155.4	128	5	250	18288.0399	135.2332
RJ	Rio de Janeiro	354	208	182	1550	179198.6666	423.3186
RN	Natal	19.875	19	2	37	110.8593	10.5289
RO	Porto Velho	0	0	0	0	0	0
RR	Boa Vista	0	0	0	0	0	0
RS	Porto Alegre	32.8	36	11	44	112.56	10.6094
SC	Florianópolis	61.75	61	36	89	532.1875	23.0691
SE	Aracaju	22.2	18	4	47	175.1599	13.2348
SP	São Paulo	113	127	13	196	4026.2	63.4523
TO	Palmas	41.7777	35	27	85	262.6172	16.2054

Fonte: Elaboração própria